

Inhalt

I. Datenstrukturen für Mengen

- Disjunkte Mengen → Union / Find
→ Split / Find
- Wörterbuchproblem
 - Suchbäume
 - Hashing

} Insert, Delete,
} Lookup

II. Graphalgorithmen

- grundlegende Alg. (Zustandskomponenten, ...)
- Netzwerkalgorithmen
- planare Graphen

III. Algorithmische Geometrie

- grundlegende geometrische Probleme
→ Suchen

Methoden:

- Divide & Conquer
- Randomisierung
 - Zufallszahlen (Würfeln)
 - Effizienz (Analyse)
 - Fehlerwahrscheinlichkeit ($< \frac{1}{2^n}$)
- Laufzeitanalyse (normal: worst case)
 - erwartete Zeit
 - amortisierte Analyse

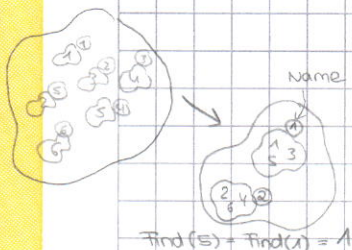
I) Datenstrukturen für Mengen

1. Verwaltung disjunkter Mengen

1.1. Das UNION-FIND Problem

Problem: Verwandle eine Partition (Menge von disj. Teilmengen) von Blöcken (Teilmengen) der Menge $U = \{1, \dots, n\}$ unter den Operationen

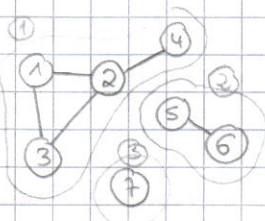
P mit $n=6$



- $\text{Init}(n)$: erzeugt die Partition $\{\{1\}, \{2\}, \dots, \{n\}\}$. Block $\{i\}$ erhält den Namen i .
- $\text{Find}(x)$: liefert den Namen des Blocks, $x \in U$ der x enthält.
- $\text{Union}(A, B, C)$: Vereinige die Blöcke mit Namen A und B zu einem Block C .
→ A und B werden zerstört.

1. Anwendung.

Zusammenhang ungerichteter Graphen $G = (V, E)$, $V = \{1, \dots, n\}$



UNION-FIND

1. $\text{Init}(n)$
2. $\forall (v, w) \in E \text{ do}$
3. $A \leftarrow \text{Find}(v);$
4. $B \leftarrow \text{Find}(w);$
5. $\text{UNION}(A, B, A)$ besser: if $A \neq B$ then $\text{union}(A, B, A)$
6. $\text{od};$

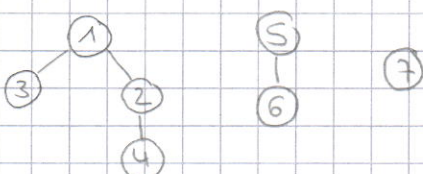


⇒ Funktion: $\text{SAME_COMPONENT}(v, w)$
return $\text{Find}(v) = \text{Find}(w)$;

2. Spanning Tree → aufgespannter Baum (Wald)

berechne Teilmenge $E' \subseteq E$
 $G = (V, E')$ ist azyklisch und hat die selben ZTHK wie G

im Beispiel



Aufgabe: Berechne E' mit Union-Find

$$E' \leftarrow E' \cup [v, w]$$

3. Minimum Spanning Tree (MST)

Zugatz: Kante Kosten $\forall v, w \in E : cost(v, w)$

Berechne Spanning Tree mit minimalen Gesamtkosten
d.h. eine Menge E' (wie den) mit $\sum_{e \in E'} cost(e)$ minimal

im Beispiel:



Kosten: 13

Lösungen für das Union-Find-Problem

1) Feld von Namen: array $[1 \dots n]$, das für jedes $i \in \{1, \dots, n\}$ den Namen des Blocks (Name[i]) angibt, das i enthält

Initialisierung: $\text{for } i=1 \text{ to } n \text{ do }$ } $O(n)$
 $\quad \quad \quad \text{Name}[i] = i;$
 $\quad \quad \quad \underline{\text{od}}$

Find(x): return Name[x] } $O(1)$

Union(A, B, C): $\text{forall } x \in \{1, \dots, n\} \text{ do }$ } $O(n)$
 $\quad \quad \quad \text{if Name}[x] \in \{A, B\} \text{ then }$
 $\quad \quad \quad \quad \quad \text{Name}[x] = C$

2) Relabel the smaller half

Wesentliche Daten-(strukturen):

- ein Feld size: array $[1, \dots, n]$ d.h. $size[A] = |A|$
- für jeden Block A eine lineare Liste L[A] realisiert durch ein Feld von Listenköpfen
 $L[A]$ enthält alle Elemente von A

Union(A, B, C):

- Gehe kürzere der beiden Listen A und B durch,
 etw. B, und ändere alle B's zu A's
- Kombiniere L[A] und L[B] (gehe im O(1), falls
 Zeiger auf letztes Element
 hier: neuer Block heißt nun A statt C)

Ausweg: wir unterscheiden interne und externe
 Namen und benutzen 2 Felder MAPIN und MAPOUT zur Übersetzung interner Namen
 in externer Namen und umgedreht.

MAPOUT: intern \rightarrow extern

MAPIN: extern \rightarrow intern

Initialisierung:

```

    Name[i] = i;
    MAPIN[i] = i;
    MAPOUT[i] = i;
    size[i] = 1
    L[i] = {i}
  
```

für $i \in \{1, \dots, n\}$ $O(n)$

Find(x) : return MAPOUT(Name[x]); } $O(1)$

Union(A,B,C) : if size(A) < size(B) then

x \leftarrow MAPIN[A]; y \leftarrow MAPIN[B];
else

x \leftarrow MAPIN[B]; y \leftarrow MAPIN[A];

fi

// ändere X's in Y's um

forall $z \in L[x]$ do

Name[z] \leftarrow y;

od

$L[y] \leftarrow L[x] \text{ conc } L[y]$ // hänge $L[x]$ an $L[y]$

MAPOUT[y] \leftarrow C;

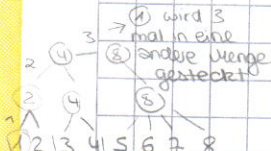
MAPIN[C] \leftarrow y;

size[C] \leftarrow size[A] + size[B];

laufzeit: $O(\min(|A|, |B|))$

Satz: Die Gesamtkosten einer beliebigen Folge von $n-1$ Unions und m Finds sind $O(m+n \log n)$

Beweis: Find hat Laufzeit $O(1) \rightarrow m$ Finds haben Lz $O(m)$



Eine Operation Union(A,B,C) hat die Kosten
 $c \cdot$ Anzahl der Elemente $x \in \{1, \dots, n\}$ für die Name[x]
 geändert wird (c ist Konstante)

Bemerkung:

1. Falls für ein $x \in A$ Name[x] geändert wird, dann
 gehört x danach zu einem Block, der Größe $\geq 2 \cdot |A|$

2. Am Anfang gehört jedes $x \in A$ zu einem Block der
 Größe 1, am Schluss zu einem Block der Größe $\leq n$
 \Rightarrow Für jeden $x \in \{1, \dots, n\}$ gilt:

Name[x] wird höchstens $\log n$ - mal geändert

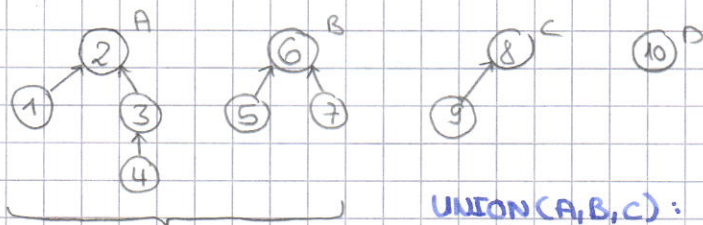
\Rightarrow Insgesamt passieren höchstens $n \log n$

Namensänderungen. dh. Kosten aller
 UNIONS = $c \cdot n \log n = O(n \log n)$

Lösungen 1+2 begünstigen FINDS, die nächsten Lösungen werden UNIONS begünstigen.

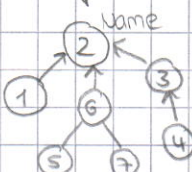
3) Jeder Block wird durch einen Baum dargestellt, die Kinder repräsentieren die Elemente des Blocks, in der Wurzel steht der Name

Beispiel:



Find(x):

starte im Knoten des x darstellt und laufe bis zur Wurzel. Sie enthält den Namen des Blocks der x enthält
Kosten: $O(\text{Tiefe}(x) \text{ im Baum})$



UNION(A,B,C):

Mache Wurzel von B zu Kind der Wurzel von A (oder umgekehrt)
Schreibe C in Wurzel (neuer Name)
 \Rightarrow Kosten: $O(1)$

Realisierung der Bäume durch Felder:

Vater[i] = { Vater von i im Baum
0, falls i Wurzel }

Name[i] = Name des Blocks mit Wurzel i
(hat nur Bedeutung wenn i Wurzel ist)

Wurzel[A] = Wurzel des Blocks mit Namen A

Initialisierung.

$$\left. \begin{array}{l} \text{Vater}[i] = 0 \\ \text{Name}[i] = i \\ \text{Wurzel}[i] = i \end{array} \right\} \forall i \in \{1, \dots, n\}$$

Find(x): while Vater[x] ≠ 0 do

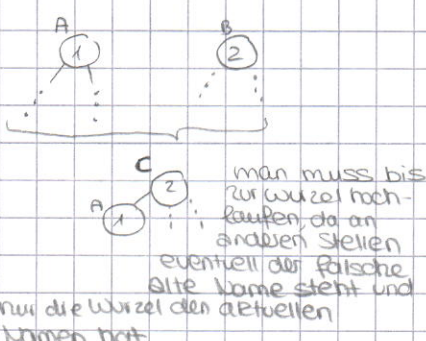
x ← Vater[x]

od

return Name[x]

Union(A,B,C): $w_1 \leftarrow \text{Wurzel}[A];$
 $w_2 \leftarrow \text{Wurzel}[B];$

$\text{Vater}(w_1) \leftarrow w_2;$ // hier: A wird an B gehängt
 $\text{Wurzel}[C] \leftarrow w_2;$
 $\text{Name}[w_2] \leftarrow C;$

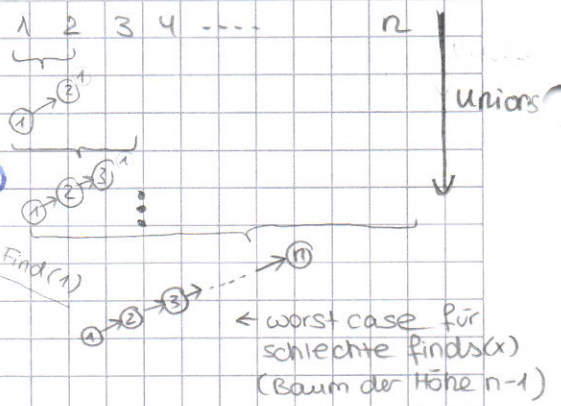


Laufzeitanalyse:

Union: $O(1)$

Find(x): $O(\text{Höhe des Baumes})$

worst case: $O(n)$



4) Verbesserung zu 3):

Vermeide große Tiefen dadurch, dass immer Wurzel des kleineren Baumes zum Kind der Wurzel des größeren Baumes gemacht wird (weighted union rule)

Zusätzliches Feld:

$\text{size}[i] = \# \text{ der Knoten im Baum mit Wurzel } i$

Initialisierung:

$\text{size}[i] = 1;$
Rest analog zu 3)

UNION(A,B,C):

$w_1 \leftarrow \text{Wurzel}[A];$
 $w_2 \leftarrow \text{Wurzel}[B];$

if $\text{size}[w_1] < \text{size}[w_2]$ then

$\text{Vater}[w_1] \leftarrow w_2;$
 $\text{size}[w_2] \leftarrow \text{size}[w_1] + \text{size}[w_2];$
 $\text{Wurzel}[C] \leftarrow w_2;$
 $\text{Name}[w_2] \leftarrow C;$

else

analog mit w_1 und w_2 vertauscht

Find(x): analog zu 3)

Satz: Bei Union-Find mit weighted union rule hat eine Folge von $n-1$ Unions und m Find's die Gesamtkosten

$O(n+m \log n)$

↑
amortisierte Laufzeit
↔ worst case

Lemma: Für alle Knoten x gilt:

$$\text{gewicht}(x) \geq 2^{\text{Höhe}(x)}$$

Beweis

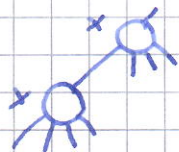
Induktion über Höhe(x)

$$\text{Höhe}(x) = 0 \Rightarrow x \text{ ist Blatt}$$

$$\Rightarrow \text{Gewicht}(x) = 1 = 2^{\text{Höhe}(x)}$$

Sei nun $\text{Höhe}(x) > 0$: Sei y ein Kind von x mit $\text{Höhe}(y) = \text{höhe}(x)-1$,
(siehe Def von Höhe(x))

I.A. $\Rightarrow \text{gewicht}(y) \geq 2^{\text{höhe}(y)}$



Betrachte die Union-Operation die y zum Kind
von x gemacht hat.

Seien $\text{gewicht}(x)$, $\text{gewicht}(y)$ die Gewichte
vor dieser Operation

Dann gilt

1. $\text{gewicht}(y) = \text{gewicht}(y)$ nur für Wurzeln
kann sich Gewicht
ändern

2. $\text{gewicht}(x) \geq \text{gewicht}(y)$ weighted union

3. nach der Union Operation

$$\text{gewicht}(x) \geq \text{gewicht}(x) + \text{gewicht}(y)$$

$$\geq 2 \cdot \text{gewicht}(y) \quad (\text{wegen 2})$$

$$= 2 \cdot \text{gewicht}(y) \quad (\text{wegen 1})$$

$$\begin{aligned} \text{I.A. } &\geq 2 \cdot 2^{\text{höhe}(y)} = 2^{\text{höhe}(y)+1} \\ &= 2^{\text{höhe}(x)} \end{aligned} \quad \text{wähle von } y$$

Da ja das $\text{Gewicht}(x) \leq n \quad \forall x$
(insgesamt: n Knoten), folgt

$$n \geq \text{gewicht}(x) \geq 2^{\text{höhe}(x)}$$

Lemma

$$\Rightarrow 2^{\text{höhe}(x)} \leq n \mid \log$$

$$\Rightarrow \text{höhe}(x) \leq \log n$$

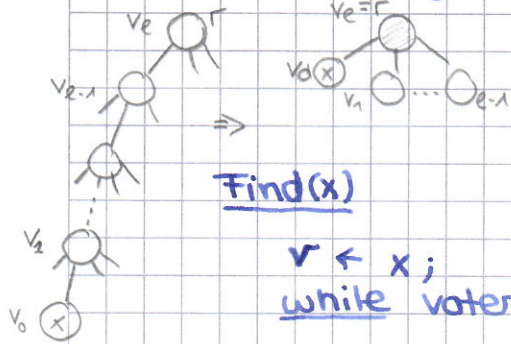
\Rightarrow Kosten einer bel. FIND-Operation sind $O(\log n)$ (worst case)!
 \rightarrow Satz $\hookrightarrow m$ Finds Kosten $O(m \log n)$

5) Verbesserung (4)

weighted union + Pfad Komprimierung (path compression)

→ Find(x) durchläuft einen Pfad v_0, \dots, v_e von Knoten wobei $v_0 = x$, $v_e = \text{Wurzel } r$

Idee: Hänge v_0, \dots, v_{e-1} direkt an die Wurzel r



Find(x)

$r \leftarrow x;$
while vater[r] ≠ 0 do

// r ist Wurzel

 $r \leftarrow \text{vater}[r];$

 od

 $(\neq r)$
 while vater[x] ≠ 0 do

 $p \leftarrow \text{Vater}[x];$
 $\text{Vater}[x] \leftarrow r;$
 $x \leftarrow p;$

 od

Beobachtung -

Pfadkomprimierung -

- verzerrt aktuelle Find aber nur um konstanten Faktor $\rightarrow O(\log n)$
- macht spätere Finds erheblich billiger

Satz (Tarjan)

Bei Union-Find mit weighted Union und path compression hat eine beliebige Folge von $n-1$ Unions und $m \geq n$ Finds die Gesamt kosten $O(m \cdot \alpha(m, n))$

Eine Variante der Ackermann-Funktion und ihre Inverse

$$\begin{aligned} A : \mathbb{N}_0 \times \mathbb{N}_0 &\rightarrow \mathbb{N}_0 \\ A(i, 0) &= 0 \quad \text{für } i \geq 0 \\ A(0, x) &= 2x \quad \text{für } x \geq 0 \\ A(i, 1) &= 2 \quad \text{für } i \geq 0 \end{aligned} \quad \left. \begin{array}{l} \text{Verankerung} \\ \{} \end{array} \right.$$

Für $i \geq 0, x \geq 1 : A(i, x) = A(i-1, A(i, x-1))$

Wertetabelle für A(i,x)

i =	0	1	2	3	4	5	6	7	8	x
0	0	2	4	6	8	10	12	14	...	
1	0	2	4	8	16	32	64	...		
2	0	2	4	16	2^{16}	2^{32}	2^{64}	\dots		
3	0	2	4							
4	0	2								

"Zeilenfunktion"

$$2x = A(0, x)$$

$$2^x = A(1, x)$$

$$2^{2^x} = A(2, x)$$

$$A(1, 2) = A(0, A(1, 1)) = A(0, 2) = 4$$

$$A(3, 4) = 2^{2^{2^2}} \{ 65536 \cdot x \}$$

Inverse zu A

$$\alpha(m, n) = \min \{ i \mid A(i, \lfloor \frac{m}{n} \rfloor) > \log n \}$$

$$\text{Bsp.: } \alpha(24, 8) = \min \{ i \mid A(i, 3) > 3 \} = 0$$

$$\alpha(3 \cdot 2^{16}, 2^{16}) = \min \{ i \mid A(i, 3) > 16 \} = 3$$

Man sieht leicht, dass $\alpha(m, n) \leq 3$ für alle in der Praxis vorkommenden Werte für m & n (\rightarrow Übung)

Beweis des Satzes

Situation: n Knoten (Elemente)

$m > n$ Folge von $n-1$ Unions + m Finds

$U_1 F_1 F_2 U_2 U_3 F_3 \dots U_{n-1} F_{n-1} \dots F_m U_{n-1}$

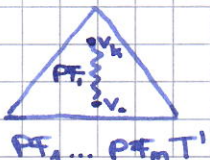
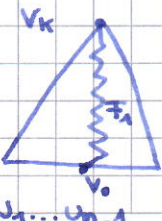
Am Ende: Einen Baum T'

Können wir auch so erhalten: (konzeptionell)

a) Führe zunächst alle $n-1$ Unions aus \rightarrow Baum T (log Tiefe)

b) Führe auf T m partielle Finds (partial finds) aus PF_1, \dots, PF_m

PF_i simuliert das echte Find F_i , indem es den selben Pfad wie F_i durchläuft (d.h. i.A. nicht bis zur Wurzel)



Wir schätzen nun die Kosten der Folge von Unions und partielle Finds ab.

Sei F die Multi-Menge (Menge in denen Elemente auch mehrfach vorkommen können) der Kanten, die in allen PFs durchlaufen werden.

zu zeigen: $|F| = O(m \cdot \alpha(m, n))$

Idee

a) Teile F in Gruppen nach Rang der Endpunkt der Kanten ein (Rangdifferenz)

Rang(x) = Höhe von x im Baum T
(nicht T')

Rang(x) ist konstant (in Folge der PF's)

b) schätze alle Gruppen ab

Definitionen

zunächst "Einteilung" der Knoten (nicht disjunkt)

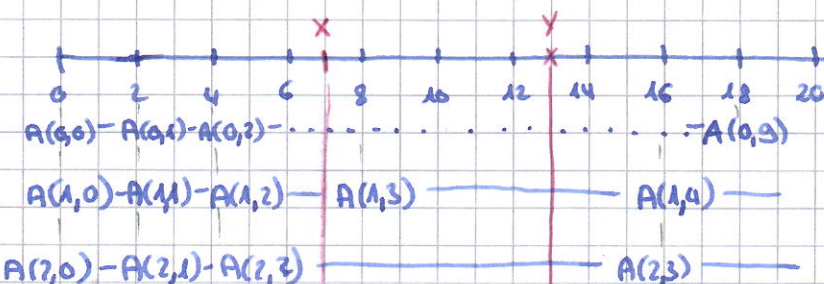
Sei $z \in \mathbb{N}$ (wird später definiert $\rightarrow \alpha(m, n)$)

Für $0 \leq i \leq z$, $j \geq 0$ definiere

$$G_{ij} = \{ \text{knoten } x \mid A(i, j) \leq \text{Rang}(x) < A(i, j+1) \}$$

Veranschaulichen

$\{[A(i, j) \dots A(i, j-1)]\}$: Menge von Intervallen



Beispiel: $\text{Rang}(x) = 7$, $\text{Rang}(y) = 13$

$\Rightarrow x \in G_{0,3}, G_{1,2}, G_{2,2}, \dots$

$y \in G_{0,6}, G_{1,3}, G_{2,2}, \dots$

Einteilung der Kanten in F

$$N_k = \{(x, y) \in F \mid k = m/n \sum_{i \geq 0} \sum_{j \geq 0} \text{ mit } x, y \in G_{ij}\}$$

für $0 \leq k \leq z$ im Bsp $(x, y) \in N_2$
und

$$N_{z+1} = F \setminus \bigcup_{k=0}^z N_k \quad (\text{Rest})$$

Intuitiv: $(x, y) \in N_i \Rightarrow \text{Rangdiff}(x, y) \approx A(i, \dots)$? \Rightarrow Übung)

Im Beispiel: $\text{Rang}(x)=7, \text{Rang}(y)=13$

$(x, y) \in N_2 \rightarrow$ erstes mal in selber Menge

$A(1, \dots) \dots \dots$

$G_{2,2} = A(2,2) \dots \dots \begin{matrix} \ddots \\ 4 \end{matrix} \quad \begin{matrix} \ddots \\ 15 \end{matrix} \quad A(2,3)$

Schließlich definiere:

$L_k := \{(x, y) \in N_k \mid (x, y) \text{ ist letzte (oberste) Kante auf PF-Pfad}\}$

für $0 \leq k \leq z+1$

Lemma

a) $|L_k| \leq m$ für $0 \leq k \leq z+1$

b) $|N_0 \setminus L_0| \leq n$

c) $|N_k \setminus L_k| \leq \frac{1}{2}n$ für $0 \leq k \leq z$

d) $|N_{z+1} \setminus L_{z+1}| \leq n \cdot a(z, n)$, wobei $a(z, n) = \min\{i \mid A(z, i) > \log n\}$

Beweis

zu a) Für jedes PF gibt es höchstens 1 Kante in L_k (eine letzte Kante).
Da m PF's \Rightarrow Teil a.

zu b) Sei $(x, y) \in N_0 \setminus L_0$, dann gilt:

1) $\exists j$ (Spalte) mit $x, y \in G_{0,j}$

d.h. $A(0, j) \leq \text{Rang}(x) < \text{Rang}(y) \leq A(0, j+1)$ (Übung)

$\begin{matrix} \parallel \\ 2j \end{matrix}$

$\begin{matrix} \parallel \\ 2(j+1) \end{matrix}$

$\Rightarrow \text{Rang}(x) = 2j$ und $\text{Rang}(y) = 2j+1$

\Rightarrow d.h. Rangdifferenz = 1

2) $(x, y) \notin L_0 \Rightarrow$ war nicht letzte Kante auf PF-Pfad

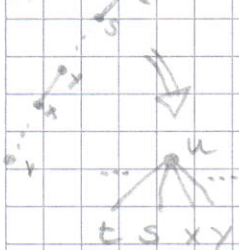
PF-Pfad:

PF(v)

$u = \text{Wurzel}$

Betrachte PF (dass (x, y) nach N_0 brachte

es kann sein
 $y = s$



Dann $\exists (s, t) \neq (x, y)$ auf PF-Pfad mit $(s, t) \in N_0$ mit $\text{Rang}(x) = 2j$

$\text{Rang}(y) = 2j+1$

$\text{Rang}(s) \geq \text{Rang}(y)$

$\text{Rang}(t) > \text{Rang}(s)$

$\text{Rang}(u)$

$= \text{Rang}(s) + 1$

$\Rightarrow \text{Rang}(t) \geq 2j+2$

Nach PF: x hat neuen Vater u ($u=t$ ist möglich)
 \Rightarrow Rangdifferenz $(x, u) \geq 2$

\Rightarrow Spätere PFs können keine Kante (x, u) zu N_0

hinzufügen

\Rightarrow für alle Knoten x gilt es höchstens eine Kante $(x, y) \in N_0 \setminus L_0$
 $\Rightarrow |N_0 \setminus L_0| \leq n$

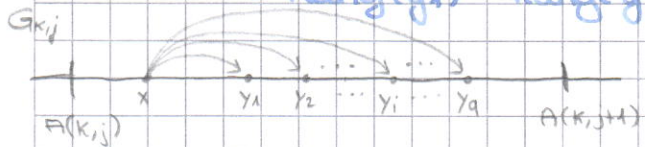
zu c)

wie oben: Schätze Beitrag eines Knotens $x \in G_{k,j}$ zu $|N_k \setminus L_k|$ ab
d.h. alte Kanten (x, \dots) mit ...

Sei $k \geq 1$ und $x \in G_{k,j}$ beliebig (Spalte j)
d.h. $A(k, j) \leq \text{Rang}(x) < A(k, j+1)$

und y_1, y_2, \dots, y_q alle Endknoten mit $(x, y_i) \in N_k \setminus L_k$ in der
Reihenfolge in der sie von PFs benutzt werden
d.h. y_{i+1} ist Wurzel des PF von (x, y_i)

$\Rightarrow \text{Rang}(y_1) \leq \text{Rang}(y_2) \leq \dots \leq \text{Rang}(y_q) < A(k, j+1)$



Dann gilt:

i) $j \geq 2$ denn sonst wär $k=0$

ii) $(x, y_i) \notin L_k$ für $i=1, \dots, q \Rightarrow \exists (s_i, t_i) \in N_k$ oberhalb von (x, y_i) auf PF

$\Rightarrow \text{Rang}(x) < \text{Rang}(y_i) \leq \text{Rang}(s_i) < \text{Rang}(t_i) \leq \text{Rang}(y_{i+1})$

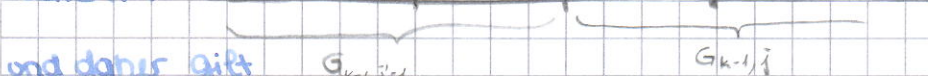
nach Pfadkomprimierung: x hat Vater y_{i+1}

Definition von N_k (k minimal)

$\Rightarrow (x, x_i), (s_i, t_i) \in N_{k-1}$

$\Rightarrow \exists j''$ mit $\text{Rang}(s_i) < A(k-1, j'') \leq \text{Rang}(t_i)$

Zeile $n-1$



und daher gilt

$\text{Rang}(y_i) < A(k-1, j) \leq \text{Rang}(y_{i+1})$

Iteriere: q -mal (für y_1, \dots, y_q)

$\Rightarrow \exists j''$ mit $\text{Rang}(y_i) < A(k-1, j'') \leq A(k-1, j''+q-1) \leq \text{Rang}(y_q)$

② $\exists j$ mit $\text{Rang}(y_q) \geq A(k-1, j+q-1)$

Beobachtung: $j \geq 2$ (siehe oben)

Teile: $1 \leq k \leq z$

$x \in G_{n, j}, (x, y) \in N_F \Rightarrow y_1, \dots, y_q \in G_{k, j}$

$$A(k, j) \leq \text{Rang}(y_1) \leq \dots \leq \text{Rang}(y_q) < A(k, j+1)$$

$$\text{II) } \text{Rang}(y_q) < A(k, j+1)$$

$$\text{I+II) } A(k-1, j+q-1) < A(k, j+1) = A(k-1, A(k, j))$$

Monotonie

$$\Rightarrow j+q-1 < A(k, j)$$

$j \geq 2$

$$\Rightarrow q < A(k, j)$$

Das bedeutet (Zusammenfassung)

Für jedes $x \in G_{k,j}$, $k \geq 1$, $j \geq 2$ gibt es höchstens $A(k, j)$ Kanten $(x, y) \in N_k \setminus L_k$

$$\Rightarrow |N_k \setminus L_k| \leq \sum_{j \geq 2} |G_{k,j}| \cdot A(k, j)$$

$$* \text{ Behauptung: } |G_{k,j}| \leq \frac{2n}{2A(k, j)}$$

Daraus folgt:

$$|N_k \setminus L_k| \leq \sum_{j \geq 2} \frac{2n \cdot A(k, j)}{2A(k, j)} \leq 2n \cdot \sum_{j \geq 2} \frac{A(k, j)}{2A(k, j)}$$

Es gilt: da $R=1$, $A(k, j) \geq 2^j$

$$= 2n \sum_{j \geq 2} \frac{2^j}{2^{j+1}} = 2n \sum_{j \geq 2} \frac{1}{2^{j+1}} = 2n \cdot \left(\frac{1}{4} + \underbrace{\frac{1}{32} + \frac{1}{256} + \dots}_{\leq 1/16} \right)$$

$$\leq 2n \cdot \frac{5}{16} = \frac{5}{8} n$$

$$* \text{ Beweis der Behauptung: } |G_{k,j}| \leq \frac{2n}{2A(k, j)} \quad \text{mit } k \geq 1, j \geq 2$$

$G_{k,j} = \text{knoten mit Rang im Intervall } [A(k, j) \dots A(k, j+1)]$

Sei ℓ eine bel. natürliche Zahl mit $A(k, j) \leq \ell < A(k, j+1)$

Wir zählen alle $x \in G_{k,j}$ mit $\text{Rang}(x) = \ell$

$$\text{Sei } G_{k,j,\ell} = \{x \in G_{k,j} \mid \text{Rang}(x) = \ell\}$$

Es gilt:

i) Jeder Knoten x mit Rang ℓ hat $\geq 2^\ell$ Nachkommen
(Gewicht von $x \geq 2^\ell$) \leftarrow weighted union

ii) Für x, y mit $\text{Rang}(x) = \text{Rang}(y)$ und $x \neq y$ sind die Nachfolgermengen disjunkt

$$\text{i)+ii) } \Rightarrow |G_{k,j,\ell}| \leq \sum_{\ell=A(k, j)}^{A(k, j+1)-1} |G_{k,j,\ell}| \leq \sum_{\ell=A(k, j)}^{\infty} \frac{n}{2^\ell} = n \cdot \sum_{\ell=A(k, j)}^{\infty} \frac{1}{2^\ell}$$

$$= \frac{1}{2^{A(k,j)}} + \frac{1}{2} \cdot \frac{1}{2^{A(k,j)}} + \frac{1}{4} \cdot \frac{1}{2^{A(k,j)}} = \frac{n}{2^{A(k,j)}} \cdot \left(1 + \frac{1}{2} + \frac{1}{4} + \dots\right)$$

$$\leq \frac{2n}{2^{A(k,j)}}$$

zu d) $k = z+1$ auch hier Schranke q

weighted union $\Rightarrow \text{Rang}(y_q) \leq \log n$ (da T' Höhe $\leq \log n$)

① für $k = z+1$

$\exists j: \text{Rang}(y_q) \geq A(z+1, j+q-1)$ mit $j \geq 2$

$\log n \geq \text{Rang}(y_q) \geq A(z, j+q-1)$

$\Rightarrow A(z, j+q-1) \leq \log n$

$\Rightarrow j+q-1 < a(z, n)$, da $a(z, n)$ minimal mit
 $\sum_{j=2}^z q \leq a(z, n)$ $A(z, a(z, n)) > \log n$

Also gibt es höchstens $a(z, n)$ Kanten (x, y) für jeden Knoten x in $N_{z+1} \setminus L_{z+1}$

$\Rightarrow |N_{z+1} \setminus L_{z+1}| \leq n \cdot a(z, n)$

■ a,b,c,d

Zurück zu Satz (Tarjan)

Kosten aller $m \geq n$ Finds

$$|F| = \sum_{k=0}^{z+1} |L_k| + |N_b| |L_b| + \sum_{k=1}^z |N_k| |L_k| + |L_m| |L_m|$$

$\underbrace{|L_k|}_a$
 $\underbrace{|N_b| |L_b|}_b$
 $\underbrace{\sum_{k=1}^z |N_k| |L_k|}_c$
 $\underbrace{|L_m| |L_m|}_d$

$$|F| \leq \underbrace{(z+2) \cdot m}_A + \underbrace{n}_B + \underbrace{z \cdot \frac{5}{8}n}_C + \underbrace{n \cdot a(z, n)}_D$$

Das gilt für jedes z !

Betrachte $z = \alpha(m, n)$, $m \geq n$

$$i) A = O(m \cdot \alpha(m, n)) \quad \text{Def von } a$$

$$ii) a(z, n) = a(\alpha(m, n), n) = \min \{ j \mid A(\alpha(m, n), j) > \log n \}$$

mit $\alpha(m, n) = \min \{ i \mid A(i, \lfloor \frac{4m}{n} \rfloor) > \log n \}$

$$= \leq \lfloor \frac{4m}{n} \rfloor$$

$$\Rightarrow B \leq n \cdot \lfloor \frac{4m}{n} \rfloor = O(m)$$

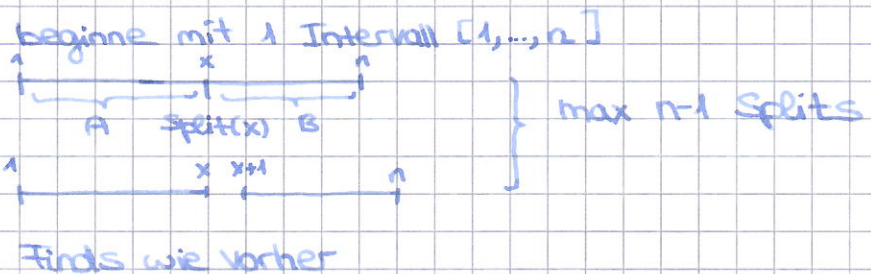
$$A+B = O(m \cdot \alpha(m, n))$$

Satz: $n-1$ Unions und $m \geq n$ Finds kosten $\Theta(m \cdot \alpha(m,n))$

- i) nicht linear \leftrightarrow praktisch: $O(m)$, da $\alpha(m,n) \leq 3$ für realistische Werte
- ii) praktisch sehr effizient (kleine Konstante)
- iii) leicht implementierbar, Korrektheit einfach
- iv) obere Schranke ist schärf d.h. es gibt Probleminstanzen mit dieser Laufzeit
- v) die Komplexität des Problems ist tatsächlich $\Omega(m \cdot \alpha(m,n))$ untere Schranke

Union / Find \leftrightarrow Split / Find (\rightarrow Übung)

↓
Mengen sortiert, Splitten an einer Stelle mit $s >$
 \Rightarrow Menge von Intervallen (disjunkt) von x
in Teile $A \leq x$ und $B > x$



2. Das Wörterbuchproblem

Verwandle eine Menge S von Schlüsseln aus einem Universum U unter den Operationen:

$\text{Insert}(x) : S \leftarrow S \cup \{x\}$ mit $x \in U$

$\text{Delete}(x) : S \leftarrow S \setminus \{x\}$

$\text{LookUp}(x)$ { true : $x \in S$
(Member) false : sonst }

Eigentliches Wörterbuch: speichere mit jedem Schlüssel $x \in S$ eine bzgl. Information $\text{Inf}(x)$ (Satellitendaten)

$\Rightarrow \text{Insert}(x, i), \text{Delete}(x), \text{LookUp}(x) \rightarrow$ liefert $\text{Inf}(x)$ falls $x \in S$

Man unterscheidet 2 Typen von Datenstrukturen abhängig von U

i) U ist linear geordnet
speziell: Ordnung " \leq " dh. es existiert eine Vergleichsoperation auf U
 \Rightarrow Dynamische Suchbäume (AVL-Bäume)

ii) Schlüssel sind ganze Zahlen aus $[1 \dots N]$ $n := |S|$
dh. $U = \{1, \dots, n\} \rightarrow$ Hashing
einfach bei $N = O(n) \rightarrow$ einfaches Feld, sonst Hashing

2.1 U ist linear geordnet

Randomized Search Trees (Arlon / Seidel 1990)

Idee: Benutze einen Zufallsprozess (Zufallszahlen) zur Balancierung eines binären Suchbaumes

Vorteile:

- extrem einfache Implementierung
- geringer Aufwand für Balance-Informationen
- Effizient: logarithmische Kosten pro Operation (mit sehr hoher Wkraft)

Binär-Suchbaum (Blattorientiert)



\rightarrow Informationen $\text{Inf}(x)$ werden erstmal ignoriert

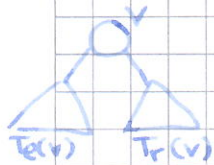
Definition: Randomized Search Tree (RST)

Sei $S = \{x_1, \dots, x_n\}$ eine Menge von Schlüsseln aus einem Universum U mit linearer Ordnung " \leq "

Jedem $x_i \in S$ wird zusätzlich eine Zufallszahl, auch Priorität genannt, $prio(x_i)$ zugeordnet.

Genauer: $prio(x_i)$ sind gleichverteilt aus $[0, \dots, 1]$ oder aus einem hinreichend großen Intervall der ganzen Zahlen z.B.: $[0, \dots, 2^{34}-1]$

Ein RST T für S ist ein knotenorientierter binärer Suchbaum für die Paare $(x_i, prio(x_i))$, $1 \leq i \leq n$, so dass:



- i) T normaler binärer Suchbaum bzgl. der Schlüssel x_i d.h. Schlüssel erfüllen die in-order-Bedingung
 \forall Knoten $v \in T$ gilt

$$\begin{aligned} a) \forall \text{Knoten } w \in T_L(v) : \text{Key}(w) < \text{Key}(v) \\ b) \forall \text{Knoten } w \in T_R(v) : \text{Key}(w) > \text{Key}(v) \end{aligned}$$

- ii) T ist ein Heap (Max-Heap) bzgl. der Prioritäten, d.h. $prio(v) \geq prio(w)$, falls v Vater von w

(Vorkehr)

→ Wurzel enthält max. Priorität

→ \forall Suchpfade bilden Prioritäten fallende Folge

Aufbau eines RST für $S = \{(x_1, prio(x_1)=p_1), \dots, (x_n, p_n)\}$
 (→ Existenzbeweis)

1. Speichere Paar (x_i, p_i) mit max. Priorität in Wurzel r

2. Baue rekursiv linken Unterbaum

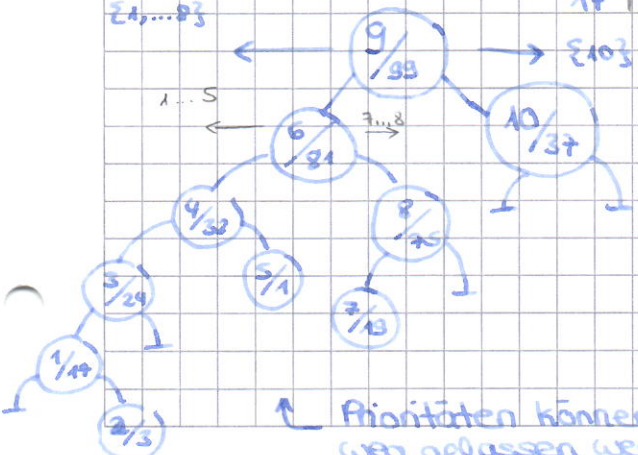
$T_L(r)$: RST für $S' = \{(x_j, p_j) \in S \mid x_j < x_i\}$

3. Baue rekursiv rechten Unterbaum

$T_R(r)$: RST für $S' = \{(x_k, p_k) \in S \mid x_k > x_i\}$

Beispiel: Schlüssel: $\{1, \dots, 10\}$

Prioritäten:	1	2	3	4	5	6	7	8	9	10
$\Sigma_{1 \dots 83}$	17	3	24	32	1	81	13	75	93	37

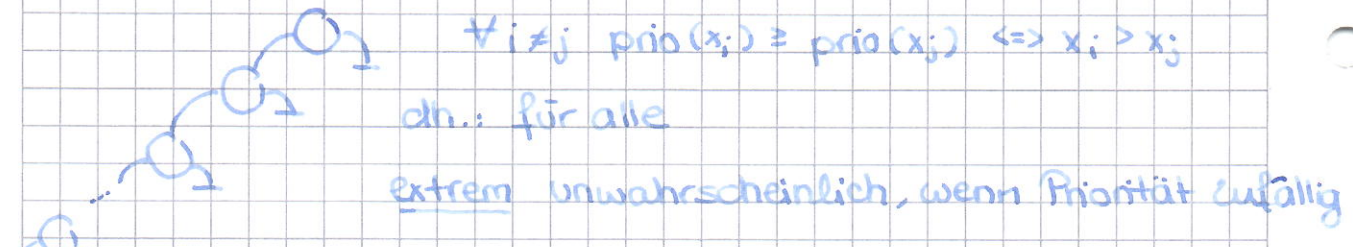


alternativ:

füge die Schlüssel in absteigender Reihenfolge ihrer Priorität in einen normalen (unbalancierten) Suchbaum ein.

↑ Prioritäten können weg gelassen werden
 → werden nur für den Aufbau benötigt

Intuition: Wie sieht im schlechtesten Fall der Baum aus?



RST = Treap + Heap \rightarrow Treap

Operationen

1. Look-up(x) : normale Suche in bin. Baum

Kosten $O(\text{Höhe}(T))$ ✓

2. Insert(x) :



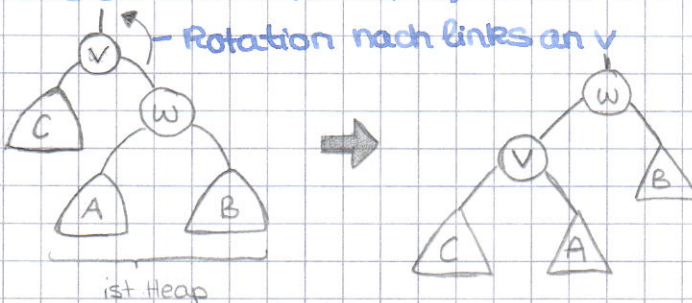
1. wähle $\text{prior}(x)$ zufällig aus $[0,1]$ (reelle Zahlen)

→ wenn schon da, tue nichts

2. Füge einen neuen Knoten (Blatt) $(x, \text{prior}(x))$ gemäß dem Schlüssel x in T ein (normales Insert)
i.A. ist hier die Heapseigenschaft verletzt

→ 3. Rotiere w nach oben bis die Heaps-Ordnung wieder hergestellt ist. $\text{prior}(\text{vater}(w)) \geq \text{prior}(w) \geq \text{prior}(\text{kinder}(w))$ (beide)

Hochraten von w (1 Schritt)



Intuition: Da $\text{prior}(w)$ zufällig & gleichverteilt, ist die W'keit für viele RotationsSchritte sehr klein.

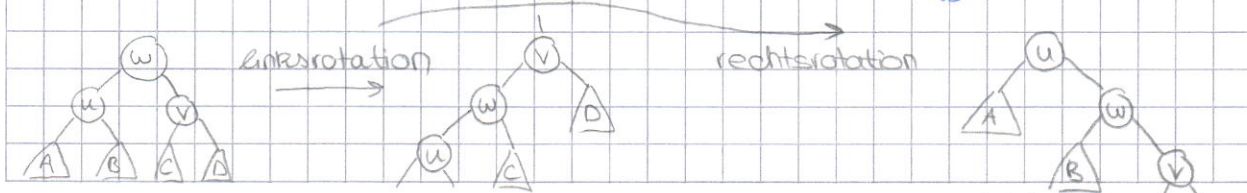
Insbesondere: $\Pr(w \text{ neue Wurzel}) \leq 1/n$

w'keit → w wird zur neuen Wurzel → viele Rotationen

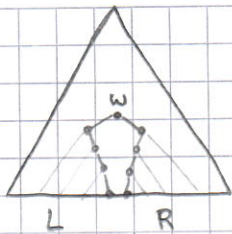
3. Delete(x)

1. Lookup liefert Knoten w mit $\text{key}(w) = x$ (sonst tue nichts)

2. Rotiere w nach unten "bis es ein Blatt von T ist."



⇒ man hat immer 2 Möglichkeiten runter zu rotieren, wenn 2 Kinder vorhanden sind



jede Rotation vermindert diese Knotenmengen

L = rechtes Rückgrat des linken Unterbaums (nach rechts)

R = linkes ----- " ----- rechten UB (nach rechts)

3. Entfernen des Blattes w

Einschub: zusätzliche Operationen

$$\text{SPLIT}(y) \rightarrow \begin{cases} S_1 = \{x \in S \mid x \leq y\} \\ S_2 = \{x \in S \mid x > y\} \end{cases}$$

1) Insert(y) mit Priorität ∞ (im Intervall $[0,1] \rightarrow 1$)

→ nicht zufällig

⇒ y steht in der Wurzel von T (Heap')

Umkehroperation

→ T_1 für S_1 = linker Unterbaum

T_2 für S_2 = rechter Unterbaum

Join(T_1, T_2) : $S \leftarrow S_1 \cup S_2$ wobei S_1 Menge von T_1

S_2 Menge von T_2

Voraussetzung: $\max(S_1) < \min(S_2)$

wähle ein Schlüssel x mit $\max(S_1) < x < \min(S_2)$

1) Konstruiere folgenden Baum T

2) Delete(x)



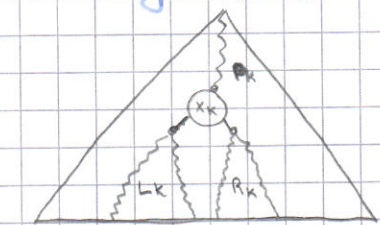
Laufzeitanalyse

Wir analysieren die erwarteten Kosten einer Delete-Operation
(Insert = Delete⁻¹)

Sei T ein RST für die Menge $S = \{x_1, \dots, x_n\}$ mit $x_1 < \dots < x_n$, dh.: ist entstanden durch Insert-Operationen)

Betrachte die Operation Delete(x_k) mit $1 \leq k \leq n$.

allg. Situation:



P_{x_k} : Suchpfad nach x_k

L_{x_k} : rechter Rückgrat des linken UB von x_k

R_{x_k} : linker ----- " ----- rechten ----- "

Kosten : $O(|P_{x_k}| + |L_{x_k}| + |R_{x_k}|)$

rotieren

unter Rotieren :

$O(|L_{x_k}| + |R_{x_k}|)$ bis x_k ein Blatt

{ Links : $|R_{x_k}| - 1$
rechts : $|L_{x_k}| - 1$

Wir schätzen die Erwartungswerte ab für $|P_{k!}|$, $|L_{k!}|$, $|R_{k!}|$

Lemma 1

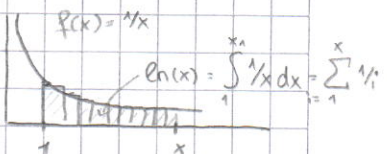
Sei $S = \{x_1, \dots, x_n\}$ mit $x_i < x_{i+1}$ für $i = 1, \dots, n-1$ und $\{p_{n,i}(x_i) \mid i = 1, \dots, n\}$ gleich verteilte Zufallszahl aus $[0, 1]$ abgespeichert im RST T (durch Folge von Inserts).
Betrachte den Knoten der einen Schlüssel x_k enthält.
Darin gilt:

$$a) E(|P_{k!}|) = H_k + H_{n-k+1} - 1$$

$$b) E(|L_{k!}|) = 1 - \frac{1}{k}$$

$$c) E(|R_{k!}|) = 1 - \frac{1}{H_{n-k+1}}$$

mit $H_k = \sum_{i=1}^k \frac{1}{i}$ (k -te Harmonische Zahl $\approx \ln_2(k)$)



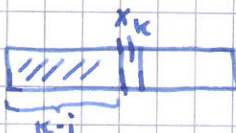
Tag fehlt

I) Spiel A: Kandidaten $K = \{x_1, \dots, x_K\}$

$$A^K = \frac{1}{K} \cdot 1 + \sum_{i=1}^{K-1} \frac{1}{K} (1 + A^{K-i})$$

↑ Spiel mit $K-1$
im 1. Zug nicht x_K

$$= \frac{1}{K} \sum_{i=1}^K (1 + A^{K-i}) \dots = H_K$$



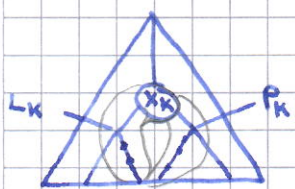
II) $E(P_k'') = H_{n-k+1}$ Beweis: symmetrisch \rightarrow Übung

Spiel B: Kandidaten $K = \{x_K, \dots, x_n\}$

Zähle wie oft neues Minimum gezogen



b & c)



Seien $L_k = v_1, v_2, \dots, v_e$

$R_k = w_1, \dots, w_m$

Es gilt

i) $\text{key}(v_i) < v_k$

ii) $\text{key}(v_i) > \text{key}(v_{i-1})$

$H(w_i) > x_k$

$\text{key}(w_i) < \text{key}(w_{i-1})$

$E(|L_k|) = \text{Erwartungswert f\"ur } L$

$E(|R_k|) = \dots$

(Wie im Teil a) k\"onnen wir annehmen, dass T normaler bin.
Suchbaum mit zuf\"alliger Einf\"ugereihenfolge $x_{\pi(1)} \dots x_n \dots x_{\pi(n)}$

Erwartungswert von $|L_k|$ bzw. $|R_k|$

Ziehe zuf\"allig Elemente aus $\{x_1, \dots, x_n\}$

sobald x_k gezogen wurde (Trigger)

Z\"ahle wie oft an $x_i < x_k$ ($x_i > x_k$) gezogen wird, das

gr\"o\fer (kleiner) als alle vorher gezogenen Sch\"üssel

$$E(|L_k|) = t(L)$$

$\leq x_k$

Spiel C k Kandidaten $\{x_1, \dots, x_k\}$ mit Ausl\"oser x_k

$E(|L_k|) = \text{Erwartungswert wie oft neues Maximum}$
 \downarrow
 $\text{nach Ziehung von } x_k \text{ (Ausl\"oser) gezogen wird}$

$$C^k = \underbrace{\frac{1}{k} \cdot A^{k-1}}_{\text{im ersten Zug } x_k \text{ gezogen, dann Spiel A f\"ur die restl. } k-1 \text{ Kandidaten}} + \underbrace{\sum_{i=1}^{k-1} \frac{1}{k} \cdot C^{k-i}}_{\text{im i. Zug } x_i < x_k \rightarrow \text{Spiel C mit } k-i \text{ Kandidaten}}, \quad C^0 := 0$$

Trick: sch\"atze $\Delta_j := C^{j+1} - C_j$ ab

$$\Rightarrow C^k = \sum_{j=1}^{k-1} \Delta_j + C^0$$

$$\text{Betrachte: } (j+1)C^{j+1} - j \cdot C^j$$

$$= (j+1) \cdot \frac{1}{j+1} \cdot (H_j + \sum_{i=0}^{j-1} C^i) - j \cdot \frac{1}{j} (H_{j-1} + \sum_{i=0}^{j-2} C^i)$$

$$= H_j + \sum_{i=0}^j c^i - (H_{j+1} + \sum_{i=0}^{j+1} c^i) \quad H_j = \sum_{i=1}^j \frac{1}{i}$$

$$\Rightarrow \frac{1}{j+1} + c^j = (j+1) \cdot c^{j+1} - j \cdot c^j \quad 1 - c^j$$

$$\frac{1}{j+1} = (j+1) \cdot c^{j+1} - (j+1) \cdot c^j \quad 1 \cdot \frac{1}{j+1}$$

$$\frac{1}{j \cdot (j+1)} = c^{j+1} - c^j$$

$$\rightarrow \Delta_j = \frac{1}{j \cdot (j+1)} = \frac{1}{j} - \frac{1}{j+1}$$

$$C^k = \sum_{j=1}^{k-1} \Delta_j = \sum_{j=1}^{k-1} \left(\frac{1}{j} - \frac{1}{j+1} \right) = 1 - \frac{1}{k} \quad \text{Teleskop}$$

$$\underline{\text{Teil C}} \quad \epsilon(R_{k+1}) = 1 - \frac{1}{n-k+1}$$

symmetrisch zu b)

Spiel D : wie oft wird neues Minimum gezogen nachdem der Ausläser x_k gezogen wurde

$$D^k = \underbrace{\frac{1}{n-k+1} \cdot B^{k-1}}_{\text{im 1 Zug } x_k, \text{ dann Spiel B für den Rest}} + \underbrace{\sum_{i=k+1}^n \frac{1}{i} \cdot D^{i-k}}_{1 \text{ Zug } x_i > x_k}$$



im 1 Zug x_k , dann Spiel B für den Rest

$$D^k = \frac{1}{n-k+1} \left(H_{n-k+1} + \sum_{i=0}^{n-k} D^i \right), \quad D^0 = 0$$

Abschätzung : (üb) analog zu c)

$$= 1 - \frac{1}{n-k+1}$$



Satz : Sei T ein RST für eine Menge von n Schlüsseln. Dann gilt:

1. Die erwartete Laufzeit für Insert, Delete, Lookup ist $O(\log n)$.
2. Die erwartete Anzahl von Rotationen bei Insert und Delete ist < 2.

Beweis:

w 1) Die Kosten von $\text{Locate}_{\text{LP}}(x_k) = O(|P_k|)$

Insert/Delete : $O(|P_k| + |L_k| + |R_k|)$

$$\begin{aligned} \text{nach Lemma: } &= H_k + H_{n-k+1} - 1 + 1 - \frac{1}{k} + 1 - \frac{1}{n-k+1} \\ &\leq 2H_n \quad \text{da } H_k \leq H_n \\ &= O(H_n) \quad H_{n-k+1} \leq H_n \\ &= O(\ln n) = O(\log n) \end{aligned}$$

w 2] Erwartete Zahl der Rotationen :

$$E(|L_k|) + E(|R_k|)$$

$$\text{nach Lemma: } = 1 - \frac{1}{k} + 1 - \frac{1}{n-k+1} < 2$$

3. Hashing

(spezielle Datenstrukturen für Wörterbücher)

Schlüsselmenge S sind ganze Zahlen aus $[0 \dots N-1]$ für ein $N \in \mathbb{Z}$ d.h. $U = [0 \dots N-1]$

Wie immer $n = |S|$

Triviale Lösung: Feld $A[0 \dots N-1]$

Jedes $x \in S$ wird in $A[x]$ abgespeichert.

Für $y \notin S$: $A[y] \leftarrow -1$ ↪ true (wenn nur Mengenproblem)
false

Lookup: kostet $O(1)$

Nachteil: Platzbedarf $O(N)$, $N \gg n$

Beispiel:

i) kleines N : $N = 256$: Schlüssel von Buchstaben

→ Verfahren der

ii) Schlüssel sind bel. int-Werte z.B.: 32-Bit-Zahlen
dann $N = 2^{32}$

→ viel zu großer Platzbedarf, dabei ist A ein sehr dünn besetztes Feld falls $n \ll N$

Ziel von Hashing

dauzeit von $O(1)$ mit Feld (Tafel) der Größe $O(n)$
(Lookup, Insert, Delete)

Grundzutaten von Hashing

Hashtafel: $T[0 \dots m-1]$
 $m = \text{Tafelgröße}$ ($m \geq n$)

Hashfunktion: $h: U \rightarrow [0 \dots m-1]$
 $U = [0 \dots N-1]$

Idee: Speichere $x \in S$ (alg. Paare $(x, \text{inf}(x))$)
an der Position $T[h(x)]$

Beispiel: $N=100$, $U = \{0, \dots, 99\}$

$$m = 7, S = \{3, 13, 24, 75\}$$

wird oft verwendet: $h: x \mapsto x \bmod 7$ // $h(x) = x \bmod m$

T	
1	
2	
3	3 → 3
4	13 → 6
5	24 → 3 ✓
6	75 → 5 ✓ Problem: Kollisionen
7	
8	
9	
10	

Methoden zur Behandlung von Kollisionen
(Kollisionsauflösung)

a) offene Adressierung. → Verwende Folge von Hashfunktionen h_0, h_1, \dots

Bsp.: 2 Hashfunktionen $f_{18}: U \rightarrow [0 \dots m-1]$

$$\text{definiere } h_i(x) = (f(x) + i \cdot g(x)) \bmod m \quad \leftarrow$$

$$h_0 = f, h_1 = f+g, h_2 = f+2g, \dots$$

lineares Proben
 $g(x)=1$

Insert(x)

Betrachte Tafelpunkte $h_0(x), h_1(x), \dots$ bis freie Position gefunden

Lookup(x)

Probiere $T[h_0(x)], T[h_1(x)], \dots$ bis entweder x gefunden oder freie Position $\Rightarrow x \notin S$

Delete(x) → Übung

Idee: Tafelposition: Zustände belegt
frei
gelöscht

Operationen werden teurer

$$O(R(n)), R(n) = \# \text{Positionen } h_0, \dots, h_m$$

b) Hashing mit Verkettung

c) Perfektes Hashing \rightarrow geschickte Wahl der Hashfunktion
(Kollisionsvermeidung)

b) Hashing mit Verkettung:

$T[i]$ ist Kopf einer Liste, die alle Schlüssel speichert, die von h auf die Position i abgebildet werden.
Genauer: $T[i] = \{x \in S \mid h(x) = i\}$

Beispiel $S = \{3, 13, 24, 25\}$

$$h(x) = x \bmod 7$$

Implementierung der Operationen: Übung

↳ Lineare Suche in Liste $T[h(x)]$

0	-	-
1	-	-
2	-	-
3	-	3
4	-	13
5	-	24
6	-	25

Kosten $O(1 + \text{Länge von } T[h(x)])$

Schlachtheater Fall: $O(n)$ alle Schlüssel in einer Liste
(Bsp.: Vielfaches von 7)

Erwartete Laufzeit Mittlerer Fall

Annahmen i) h verteilt U gleichmäßig auf Tafel

$$|h^{-1}(i)| = \frac{m}{n} \quad \text{für } i=0 \dots n-1$$

\Rightarrow Das gilt für $x \bmod m$!

ii) Schlüssel in S werden zufällig, gleichverteilt und unabhängig aus U gezogen

Frage: Wieviel Kosten n zufällige Einfügungen (in leere Tafel)?

Definiere: $\delta_n(x, y) := \begin{cases} 1, & \text{falls } x \neq y \text{ und } h(x) = h(y) \\ 0, & \text{sonst} \end{cases}$

$$\delta_n(x, S) = \sum_{y \in S} \delta_n(x, y)$$

d.h.: $\delta_n(x, S)$ ist Länge der Liste $T[h(x)]$
(in die x gespeichert werden soll)

Betrachte Folge der zufälligen Schlüssel x_1, x_2, \dots, x_n

(Wie groß ist $E[h(x_{i+1}, \{x_1, \dots, x_i\})]$ im Mittel?)

Beobachtung:

Sei $p_i = h(x_i)$ (Position (Liste) von x_i in Tafel), dann nimmt p_i die Zahlen aus $\{0, \dots, m-1\}$ gleich wahrscheinlich an. W'keit, dass ℓ der Zahlen p_1, \dots, p_i gleich einer bestimmten Zahl p sind.

$$= \binom{i}{\ell} \cdot \left(\frac{1}{m}\right)^\ell \left(\frac{m-1}{m}\right)^{i-\ell} \quad (\text{Bermulli - Formel})$$

Anzahl der Möglichkeiten
k Elemente aus i auszuwählen
(dass x_{i+1} in Liste mit k Elementen eingefügt wird)

$$\text{prob}(I[h(x_{i+1})] = \ell)$$

W'keit, dass $h(x) = p$
für ausgewähltes Element
 $x = 1/m$
(Trefferw'keit)

W'keit, dass Position $\neq p$
ist $\frac{m-1}{m} = (1-1/m)$, i-mal

Erwartungswert für die Länge der Liste:

$$\begin{aligned} O &= \sum_{\ell=0}^i \ell \cdot \text{prob("Länge \ell")} \\ E(h(x_{i+1}, \{x_1, \dots, x_i\})) &= \sum_{\ell=0}^i \ell \cdot \binom{i}{\ell} \cdot \left(\frac{1}{m}\right)^\ell \cdot \left(\frac{m-1}{m}\right)^{i-\ell} \quad \binom{n}{k} = \frac{n!}{k!(n-k)!} \\ &= \sum_{\ell=0}^i \frac{i!}{\ell!(i-\ell)!} \cdot \left(\frac{1}{m}\right)^\ell \left(\frac{m-1}{m}\right)^{i-\ell} \cdot \ell \\ &= \frac{i}{m} \sum_{\ell=0}^i \frac{(i-1)!}{(\ell-1)!(i-\ell)!} \cdot \left(\frac{1}{m}\right)^{\ell-1} \cdot \left(\frac{m-1}{m}\right)^{i-\ell} \\ &= \frac{i}{m} \sum_{\ell=0}^i \underbrace{\binom{i-1}{\ell-1} \cdot \left(\frac{1}{m}\right)^{\ell-1} \cdot \left(\frac{m-1}{m}\right)^{i-\ell}}_{\substack{= \left(\frac{1}{m} + \frac{m-1}{m}\right)^{i-1} = 1}} = \frac{i}{m} \end{aligned}$$

\Rightarrow Die erwarteten Kosten der (it)-ten Einfügung sind $O\left(\frac{i}{m}\right)$

$\Rightarrow n$ Einfügungen kosten dann

$$O\left(\sum_{i=1}^n \frac{i}{m}\right) = O\left(\frac{n(n+1)}{2m}\right) = O\left(\frac{n}{m} \cdot n\right) = O(\beta \cdot n)$$

$\beta := \frac{n}{m}$ heißt Belegungsfaktor

Für $\beta = O(1)$ z.B. $\beta=2$ sind die erwarteten Kosten pro Operation $O(1)$ (eigentlich $O(\beta)$)

c) Perfektes Hashing

Zunächst: Schlüsselmenge $S \subseteq U$ ist fest (statisch)

2 Operationen:

- INIT(S) bau Datenstruktur Platz $O(n)$
- Lookup(x) Suche in $O(1)$

$m = O(n)$
 $(m \ll N)$ keine Kollision \Leftrightarrow Hashfunktion $h: [0 \dots N-1] \rightarrow [0 \dots m-1]$ ist injektiv auf S

Aufgabe: Finde injektive Hashfunktion für S

(Wir behandeln ein sehr einfaches randomisiertes Verfahren)

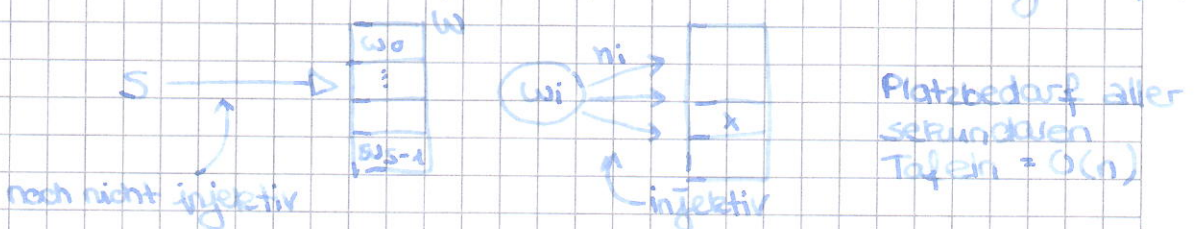
Paper: Storing a Sparse Table with $O(1)$ worst case Access Time

Friedman & Komlós

Journal of ACM, Vol. 31 No 3
1984

Idee 2-stufiges Hashing - Schema (injektiv)

Auswahl der Hashfunktion durch Randomisierung (wirft)



Sei p eine Primzahl mit $p > N$ und $s \leq N$ (Tafelgröße)

Betrachte folgende Hashfunktion $\{h_1, \dots, h_p\}$ mit

$$h_k: [0 \dots N-1] \rightarrow [0 \dots s-1]$$

$$h_k(x) = (k \cdot x \bmod p) \bmod s \quad \text{für } 1 \leq k \leq p-1$$

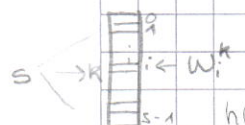
Jede Funktion h_k , $0 \leq k \leq p-1$ verteilt die Elemente von S auf s Buckets w_0^k, \dots, w_{s-1}^k

$$\text{d.h. } |w_i^k| = |\{x \in S \mid h_k(x) = i\}|$$

Für jede Menge $S \subseteq \{0 \dots N-1\}$, $|S|=n$

Lemma 1: $\exists k, 1 \leq k \leq p-1$ mit

$$\sum_{i=0}^{s-1} \binom{|W_i^k|}{2} < \frac{n^2}{s}$$



↑ Anz. der Paare x, y , $x \neq y$ die im selben Bucket landen.

→ Zahl der Kollisionen

Beweis

Zunächst zeigen wir die Behauptung:

$$\sum_{k=1}^{p-1} \sum_{i=0}^{s-1} \binom{|W_i^k|}{2} < (p-1) \cdot \frac{n^2}{s}$$

Daraus folgt Lemma 1 (indirekt)

Annahme: Lemma 1 gilt nicht

$$\forall 1 \leq k \leq p-1 \quad \sum_{i=0}^{s-1} \binom{|W_i^k|}{2} \geq \frac{n^2}{s}$$
$$= \sum_{k=1}^{p-1} \geq p-1 \cdot \frac{n^2}{s} \quad \text{Widerspruch!}$$

① = Anzahl der Paare $(k, \{x, y\})$ $1 \leq k \leq p-1$ mit $x, y \in S$, $x \neq y$ und $h_k(x) = h_k(y)$

Beitrag eines festen Paares $x \neq y$ zu ①

= Anzahl aller k 's mit $(k \cdot x \bmod p) \bmod s$.

$= (k \cdot y \bmod p) \bmod s$

$\Leftrightarrow ((k \cdot x \bmod p) - (k \cdot y \bmod p)) \bmod s = 0$

$\Leftrightarrow \underbrace{(k \cdot x \bmod p)}_{\in \{0 \dots p-1\}} - \underbrace{(k \cdot y \bmod p)}_{\in \{0 \dots p-1\}} = i \cdot s \quad i \in \mathbb{Z}$

$\in [-p+1 \dots p-1] / 0$

$\Delta (k \cdot (x-y) \bmod p)$

Möglichkeiten ($x \neq y$) !

$$k \cdot (x-y) \bmod p = i \cdot s$$

$$2s$$

$$\vdots$$

$$-s$$

$$-2s$$

$$\left. \begin{array}{l} \\ \\ \\ \\ \end{array} \right\} \leq \frac{2 \cdot (p-1)}{s}$$

Gleichungen

Da p eine Primzahl (Zp Körper \rightarrow Inverse zur Multiplikation) hat jede Gleichung höchstens eine Lösung für k

\Rightarrow Beitrag eines festen Paares (x,y) , $x \neq y$ zu ① ist höchstens $\frac{2(p-1)}{s}$

Summiere über alle Paare (x,y) , $x \neq y$

$$\begin{aligned} ① &\leq \binom{n}{2} \cdot \frac{2(p-1)}{s} \\ &= \frac{n \cdot (n-1)}{2} \cdot \frac{2(p-1)}{s} \\ &\quad \underbrace{\quad}_{\leq \frac{n^2}{2}} \\ &< \frac{n^2(p-1)}{s} \quad \blacksquare \end{aligned}$$

Folgerung 1

Berechnung

Tafel der Größe n : $\exists k, 1 \leq k \leq p-1$ mit $\sum_{i=0}^{n-1} |w_i^k|^2 < 3n$
 $= O(n)$

Beweis

d.h. es existiert eine Hashfunktion, so dass Summe der Quadrate der Bucketgrößen linear (für Tafeln der Größe n)

\Rightarrow Betrachte Lemma 1 für $s = n$

$$\begin{aligned} \sum_{i=0}^{n-1} \binom{|w_i^k|}{2} &< n \\ \sum_{i=0}^{n-1} |w_i^k| \cdot (|w_i^k| - 1) &< n \\ \sum_{i=0}^{n-1} |w_i^k|^2 - |w_i^k| &< n \\ \sum_{i=0}^{n-1} |w_i^k|^2 &< 2n + \sum_{i=0}^{n-1} |w_i^k| = 3n \quad \blacksquare \end{aligned}$$

Folgerung 2: Für Tafel der Größe $s = n^2$

$\exists k', 1 \leq k' \leq p-1$, so dass die Hashfunktion

$$h_{k'}: x \mapsto (k' \cdot x \bmod p) \bmod s$$

injektiv auf S ist d.h. $|w_i^{k'}| \leq 1$ für $i = 0 \dots n^2-1$
 \Leftarrow Keine Konflikte

\Rightarrow für quadratisch große Tafel existiert eine perfekte (injektive) Hashfunktion $h_{k'}$

Beweis

Betrachte Lemma 1 mit $S = n^2$

$$\exists k', 1 \leq k' \leq p-1 \text{ mit } \sum_{i=0}^{n-1} \left(\frac{|w_i|^{k'}}{2} \right) < 1$$

$\Rightarrow |w_i|^{k'} \leq 1$ (keine 2 Elemente in einem Bucket w_i)

$\Rightarrow h_{k'}$ ist injektiv auf S

Verminderung des quadratischen Speicherplatzes durch ein 2-stufiges Hashing-Schema.

1. Stufe: Wähle ein k gemäß Folgerung 1 (Tafelgröße $S = n$)

$$\text{d.h. } \sum_{i=0}^{n-1} |w_i|^k|^2 \leq 3n$$

genauer: Die Hashfkt. $h_k: x \mapsto (k \cdot x \bmod p) \bmod n$ verteilt S auf eine Tafel der Größe n , wobei die Summe der Quadrate der Bucketgrößen kleiner als $3n$ ist. d.h. linear $|w_i|^2$

2. Stufe: Für jedes nicht-leere Bucket w_i^k der ersten Stufe, wobei ein k gemäß Folgerung 2

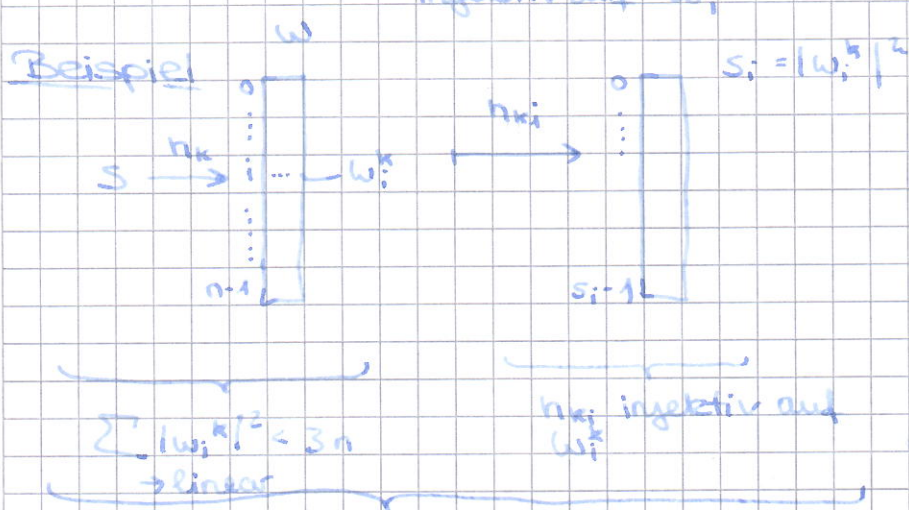
genauer: Für $i = 0 \dots n-1$ ist die Hashfunktion

$$h_{k,i}: x \mapsto (k_i \cdot x \bmod p) \bmod s_i \text{ mit}$$

$s_i = |w_i^k|^2$ (geweils quadrat. große Tafeln)

injektiv auf w_i^k

Beispiel



Funktion: $h_{k,i}(h_k(x))$ injektiv

$$\dots \text{und benötigt Platz für 3 Tafeln: } 3n + 1 + \sum_{i=0}^{n-1} |w_i^k|^2 \leq 6n + 1 = O(n)$$

Datenstruktur : 3 Felder + Variable k

$$k[0 \dots n-1] \in \{0 \dots p-1\}$$

$$\text{size}[0 \dots n-1] \in \mathbb{N}$$

$B[0 \dots n-1]$ Pointer auf Hashtafeln (der Stufe 2)
 $B[i] \rightarrow$ Tafel der Größe $\text{size}[i]$

$$i \leftarrow (kx \bmod p) \bmod n;$$

$$k' \leftarrow k[i];$$

$$s' \leftarrow \text{size}[i];$$

$$j \leftarrow (k'i \bmod p) \bmod s'$$

$$B[i][j] \leftarrow x;$$

Abspeichern der Elemente
nach initialisierender
Füllung der Felder

Problem: Wie findet man k und $K[i]$, $i=0 \dots n-1$, die die Bedingungen von Folgerung 1 & 2 erfüllen, effizient?

Triviale Lösung:

Probiere alle möglichen $\{1, \dots, p-1\}$ aus.

Effiziente Lösung:

wir brauchen verbesserte Folgerungen
(\exists viele k's + zufällige Wahl)

Beispiel zum Aufbau der Datenstruktur

$$N = 30, p = 31 \quad S = \{2, 4, 5, 15, 18, 13\} \quad n = 6$$

wähle $k = 2$ (erfüllt Bedingung von Folgerung 1)

$$h_x = (2x \bmod 31) \bmod 6$$

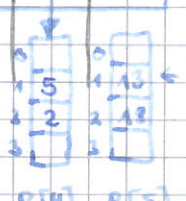
	0	1	2	3	4	5
size	1	0	1	0	2	2
	15	4		2	18	
				5	13	

Summe der Quadrate: $10 = 3n$

$$K [1 \ 0 \ 1 \ 0 \ 1 \ 1]$$

$$B [\]$$

$$B[3] [\]$$



Stufe 2 (durch ausprobieren)

$$B[4][i] : (k'i \bmod 31) \bmod 4$$

mit $k' = 1 \checkmark$

$$B[5][i] : (k'i \bmod 31) \bmod 4$$

mit $k' = 1 \checkmark$

Lookup(x) $i \leftarrow (kx \bmod p) \bmod n$
 $s' \leftarrow \text{size}[i];$
 $k'[i] \leftarrow k[i];$
 $j \leftarrow (k' \cdot x' \bmod p) \bmod s'$
 $\text{if } (B[i][j] = x) \text{ then true;}$

Kosten für den Aufbau der Datenstruktur (Init)

Wie findet man ein k für die erste Stufe und $k[i]$, $i=0(1)n-1$, für die zweite Stufe mit den geforderten Eigenschaften.

$$1. \text{ Stufe: } \sum_{i=0}^{n-1} |w_i^k|^2 < 3n$$

2. Stufe: $h_{k \in \mathbb{Z}}$ injektiv auf w_i^k

Folgerung 1+2: Solche k -Werte existieren!

Naive Methode: Probiere mögliche Werte für die k 's aus, k zu finden, d.h. jeweils Schleife:

for $k=1$ to $p-2$ do

Ein einzelnder Test kostet (in Stufe 1 & 2) $O(n)$
 → verteile Elemente von S in n_k und
 überprüfe, ob Eigenschaften erfüllt sind.

Gesamtkaufzeit: $O(p \cdot n^2) = O(n^2 \cdot N)$
 worst case $\begin{matrix} \uparrow \\ n+1 \text{ k-Werte} \end{matrix}$ $\begin{matrix} \uparrow \\ p = O(N) \end{matrix}$
 ⇒ sehr schlecht

Verbesserung: Randomisierte Berechnung der k -Werte.
 (suche nach geeigneter Hashfunktion)

(Wenn ein Bruchteil aller möglichen k -Werte (z.B. die Hälfte) die Bedingungen erfüllt. Dann ist ein zufälliges k mit Wk-Wkeit $1/2$ ok.)

Algorithmus

ziehe zufällig k aus $\{1, \dots, p-1\}$

bis die entsprechenden Bedingungen erfüllt.

Übung \Rightarrow erwartete Anzahl der ziehungen bei einer Trefferwahrscheinlichkeit $1/2$ ist 2

Mit einer "kleinen" Erhöhung der Speicherplatzschranke können wir erreichen, dass mind. die Hälfte der k -Werte ok sind.

\Rightarrow Erwartete Aufbauzeit: $O(n^2)$

wir brauchen $n+1$ k-Werte,
ein Test kostet Kosten $O(n)$
 \rightarrow wir machen 2 Tests pro k

Modifizierte Folgerung aus Lemma 1

Folgerung 3 für $s = n$

Für mind. die Hälfte aller k's, $1 \leq k \leq p-1$ gilt

$$\sum_{i=0}^{n-1} |w_i^k|^2 < s_n$$

Beweis

Betrachte Gleichung ① im Beweis von Lemma 1

$$\sum_{k=1}^{p-1} \sum_{i=0}^{n-1} \left(\frac{|w_i^k|}{2} \right)^2 < p-1 \cdot \frac{n^2}{5}$$

für $s = n$

$$\sum_{k=1}^{p-1} \sum_{i=0}^{n-1} \left(\frac{|w_i^k|}{2} \right)^2 < (p-1) \cdot n$$

\Rightarrow Für mindestens die Hälfte aller k's, $1 \leq k \leq p$ gilt

$$\sum_{i=0}^{n-1} \left(\frac{|w_i^k|}{2} \right)^2 < 2 \cdot n$$

zum Beweis

Annahme für mehr als die Hälfte aller k gilt

$$(*) \quad \sum_{i=0}^{n-1} \left(\frac{|w_i^k|}{2} \right)^2 \geq 2 \cdot n$$

$$\Rightarrow \sum_{i=0}^{p-1} (*) \geq \frac{p-1}{2} \cdot 2n = (p-1)n$$

\rightarrow Beitrag der
Hälfte

$$\Rightarrow \sum_{i=0}^{n-1} \frac{|w_i^k|(|w_i^k|-1)}{2} < 2n$$

$\cdot \frac{1}{2}$, ausmultiplizieren, + $\sum |w_i^k|$

$$\sum_{i=0}^{n-1} |w_i^k|^2 < 4n + \underbrace{\sum_{i=0}^{n-1} |w_i^k|}_n < 5n$$

Folgerung 4 ($S = 2n^2$)

für mind. die Hälfte aller k' , $1 \leq k' \leq p-1$ gilt

die Abb.: $h_{k'}: x \mapsto (k' \cdot x \bmod p) \bmod 2n^2$ ist
injektiv auf S

Betrachte ① mit $S = 2n^2$

$$\sum_{k=1}^{p-1} \sum_{i=0}^{2n^2-1} \left(\frac{|w_i^k|}{2} \right) < (p-1) \cdot \frac{n^2}{2n^2} = \frac{1}{2}(p-1)$$

\Rightarrow Für mind. die Hälfte aller k gilt: $\sum_{i=0}^{2n^2-1} \left(\frac{|w_i^k|}{2} \right) < 1 = 0$

\Rightarrow für mind. die Hälfte aller k gilt $|w_i^k| \leq 1$, $0 \leq i \leq 2n^2-1$

$\Rightarrow h_{k'}$ injektiv ✓

Datenstruktur

1. Stufe: wähle k , so dass Summe der Quadrate der Bucketgrößen $\leq S_n$
(die Hälfte aller k -Werte erfüllt Bedingung)

2. Stufe: Für jedes Bucket (w_i^k) der ersten Stufe verwende Tafel der Größe $2 \cdot \text{size}(i)^2$
(die Hälfte aller k' -Werte liefert injektives h_k)

\Rightarrow Platzbedarf aller Tafeln der 2. Stufe $< 10 \cdot n$

\Rightarrow Insgesamt: Platz $\leq 13n$ (1. Stufe: 3 Felder der längen n)

Zusammenfassung

Jede Menge $S \subseteq \{0, \dots, N-1\}$ mit $|S| = n$ kann so abgespeichert werden, dass gilt

1. Platzbedarf $O(n)$, genauer $\leq 13n$

2. Erwartete Auflaufzeit: $O(n^2)$

3. Lookup(x): $O(1)$ im worst case

perfektes Hashing

(\rightarrow speichern einer dünn besetzten Tafel)

Dynamisierung: Dynamic Perfect Hashing

\rightarrow möglich, aber nicht mehr Inhalt der VL

4. Warteschlangen (Priority Queues)

Verwaltet eine Menge S von Prioritäten, $S \subseteq U$
 U linear geordnet (z.B. Zahlen)

Operationen: PQ.insert(p)
PQ.findmin()
PQ.delmin()

PQ.insert(p, i)
PQ.delmin()
PQ.findmin()

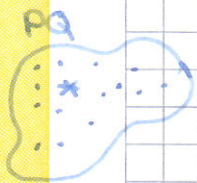
p Priorität, i Information
↳ liefert Paar (p, i) mit min
↳ Priorität p und entfernt es

PQ.decrease-p((p, i), q) vermindert die Priorität von
(p, i) auf q
(p, i) \rightarrow (q, i)

Anwendung -

Kürzeste (billigste) Wege in Graphen

Argumente von PQ.decrease-p(*, q)



sollte eine Position in der Datenstruktur sein (Pointer, Ref, Index, Iterator)

Einfache Implementierung

\rightarrow Übung

1. Doppeltverkettete Liste

Variante a) unsortiert

PQ.insert \rightarrow vorne einfügen
PQ.findmin \rightarrow lineare Suche, $O(n)$
PQ.delmin \rightarrow lineare Suche, $O(n)$
PQ.decrease-p \rightarrow ersetze p durch q , $O(1)$

Variante b) (genauer: aufsteigend nach Priorität)

PQ.findmin() $O(1)$, erstes Element
PQ.delmin() $O(1)$
PQ.insert(p, i) $O(n)$, lin. Suche + einfügen
PQ.decrease-p(i, q) $O(n)$, ——

2. Binäre Bäume (siehe 1b) (blattorientiert)

\rightarrow Übung

3. Minimums-Heap \rightarrow Übung

Für diese einfachen Datenstrukturen gelten die Laufzeit-schranken für den schlechtesten Fall ('worst case'):

Für die Anwendung (Graph. Alg.) ist oft eine amortisierte Analyse interessanter.

Beispiel: Zur Lösung eines Problems sind n Insets

n Setzen und m Decrease erforderlich.

Dann sind die Kosten der Gesamtfolge der Operationen entscheidend.

Amortisierte Analyse von Datenstrukturen

Datenstrukturen D + Folge von n Operationen

$$D_0 \xrightarrow{op_1} D_1 \xrightarrow{op_2} D_2 \dots D_{i-1} \xrightarrow{op_i} D_i \dots \xrightarrow{op_n} D_n$$

Amortisierte Analyse: schätzt die Gesamtkosten der Folge (worst case) ab

triviale Abschätzung: $O(n \cdot \text{worst case}(op))$ ist oft sehr schlecht

Beispiel: Binäre Zähler

Operation: Reset (setze auf Null)
Increment (Erhöhe um 1)

Implementierung: Bitstring $a_0 \dots a_1 a_2 \dots a_m$

$$\text{Zählerwert}: \sum_{i=0}^m a_i \cdot 2^i$$

Reset: Bitstring $a_0 \leftarrow 0$ ($O(1)$)

Increment: $a_0 \leftarrow a_0 + 1;$
 $i \leftarrow 0$
while $a_i = 2$ do

$a_i \leftarrow 0;$
 $a_{i+1} \leftarrow a_{i+1} + 1$ // Übertrag
 $i \leftarrow i + 1;$
od

Kosten: $\Theta(1 + \# \text{Schleifendurchläufe})$

Was kostet nun eine Folge von $1 \times$ Reset ($\rightarrow D_0$) und $n \times$ Increment.

1. Antwort

Der Zähler hat höchstens $\log n$ Bits (bei max. Wert n)
 \rightarrow die Schleife wird höchstens $\log n$ mal durchlaufen

\Rightarrow Gesamtlaufzeit $O(n \log n)$

↑

($n \times$ worst-case)

Antwort 2

genauere Betrachtung \rightarrow Kosten $O(n)$
 (Übertrag läuft nur selten über log n Stellen)

Beweis durch amortisierte Analyse (Potentialmethode)

Ein Potential ist eine Funktion, die jedem Zustand (Instanz) der Datenstruktur eine Zahl aus \mathbb{R} zuordnet.
 (nicht negativ)
 $(\text{pot}(D_i) \in \mathbb{R}^+)$

Im Beispiel $\text{pot}(\dots a_3 a_2 a_1 a_0) := \sum_{i \geq 0} a_i$
 dh Anzahl der Einsen

eine Operation op (im Bsp. Increment)
 überführt die Datenstruktur von einem Zustand zu
 einer anderen $D \xrightarrow{\text{op}} D'$

Definition

$T_{\text{tats}}(\text{op})$ = tatsächliche Ausführungszeit von op

$T_{\text{amort}}(\text{op}) := T_{\text{tats}}(\text{op}) + \text{pot}(D') - \text{pot}(D)$,

Z Nun betrachte die Folge 4pot

$D_0 \xrightarrow{\text{op}_1} D_1 \dots D_{i-1} \xrightarrow{\text{op}_i} D_i \dots \xrightarrow{\text{op}_n} D_n$

Ziel obere Schranke für $\sum_{i=1}^n T_{\text{tats}}(\text{op}_i)$

Betrachte

$$\sum_{i=1}^n T_{\text{amort}}(\text{op}_i) = \underbrace{\sum_{i=1}^n (T_{\text{tats}}(\text{op}_i) + \text{pot}(D_i) - \text{pot}(D_{i-1}))}_{\text{Teleskopsumme}}$$

$$= \sum_{i=1}^n T_{\text{tats}}(\text{op}_i) + \text{pot}(D_n) - \text{pot}(D_0)$$

oder

$$\sum_{i=1}^n T_{\text{tats}}(\text{op}_i) = \underbrace{\sum_{i=1}^n T_{\text{amort}}(\text{op}_i) + \text{pot}(D_0) - \text{pot}(D_n)}_{\text{möchten wir abschätzen}}, \quad \text{lässt sich oft leicht abschätzen}$$

$$\Rightarrow \sum_{i=1}^n T_{\text{tats}}(\text{op}_i) \leq \sum_{i=1}^n T_{\text{amort}}(\text{op}_i) + \text{pot}(D_0)$$

Spezialfall $\text{pot}(D_0)=0$
 (gilt im Bsp.)

Spezialfall

$$\sum_{i=1}^n T_{\text{Total}}(D_i) \leq \sum_{i=1}^n T_{\text{Mort}}(D_i)$$

gilt für alle Potentiale mit

- i) $\text{pot}(D) \geq 0$
- ii) $\text{pot}(D_0) = 0$

gute erachtete Analyse

→ Finde ein Potential, so dass $\sum_{i=1}^n T_{\text{Mort}}(D_i)$ eine gute Schranke ist (d.h. möglichst klein)

Im Beispiel (Binärzahlen)

$\text{pot}(D_i) = \# \text{ Einsen in } D_i$

Zähler $[\dots 0] 1 \dots 1]$ $k \geq 0$
 (hat ja die Form) erste \swarrow \searrow Einsen

Dann gilt: 1) Increase kostet $k+1$ (o(1))
 dh. $T_{\text{Total}}(D_i) = k+1$

$D_{i-1} \xrightarrow{\text{Inc}} D_i$

$\dots [\dots 0] 1 \dots 1] \dots 0]$

2) Potentialdifferenz $\Delta \text{pot} = 1 - k$

$$\Rightarrow T_{\text{Mort}}(\text{Inc}) = k+1 + (1-k) = 2 = O(1)$$

Bed. dass
Spezialfalls erfüllt

\uparrow \uparrow
 tats Δpot

$$\Rightarrow \sum_{i=1}^n T_{\text{Total}} \leq \sum_{i=1}^n T_{\text{Mort}} \leq 2n = O(n)$$

Warteschlangen implementiert durch

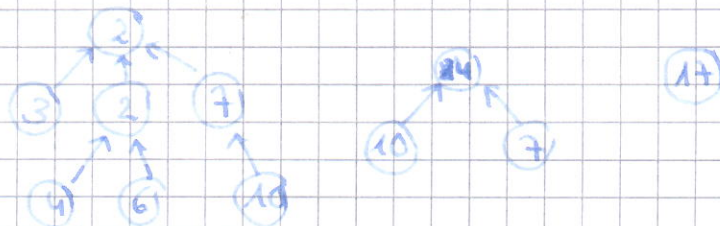
Fibonacci-Heaps

Ein Fib-Heap besteht aus einer Menge von Heaps (Min-Heaps!).

Heap: Baum, dessen Knoten mit Werten (hier Prioritäten) beschriftet sind, so dass

$$\text{prin}(\text{Vater}(v)) \leq \text{prin}(v);$$

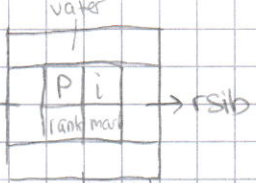
Bsp.:



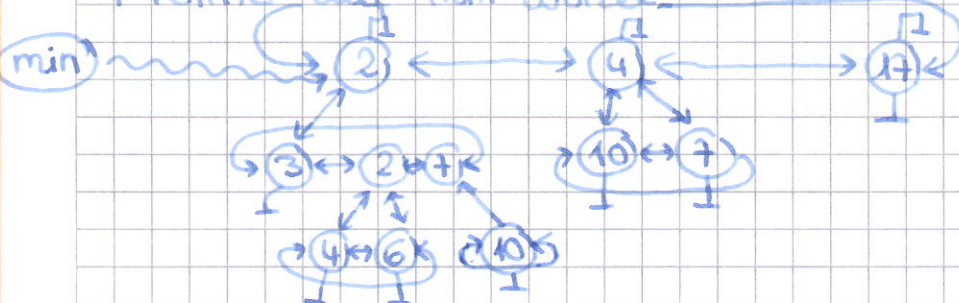
Knoten werden durch folgende Struktur (Klasse) realisiert

```
class node {  
    prio p;  
    inf i;  
    node parent, child, leftsib, rightsib;  
  
    int rank; // Anz der Kinder  
    bool mark;  
};
```

: später mehr esib



Fib-Heap Menge von Heaps genauer Liste der Wurzeln + Pointer auf min Wurzel



Realisierung der PQ-Operationen

Init $PQ \leftarrow \emptyset$ $\min \leftarrow \text{NULL}$, $O(1)$
(Konstruktor)

FINDMIN(): Zugriff über min-Pointer $O(1)$

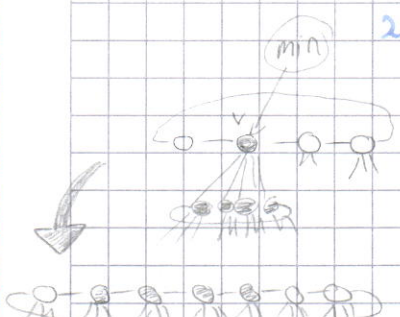
Insert(p, i): Erzeuge Heap, der aus einem Knoten v besteht mit $v.prio = p$, $v.inf = i$ und füge v in die Wurzeliste ein.
 $O(1)$

Falls $p < \min.prio$ dann $\min \leftarrow v$

DELMIN 1) Resultat Knoten, auf dem min-Pointer zeigt

2) Streiche v aus Wurzeliste und füge alle Kinder von v in diese Liste ein!

3) Sorge dafür dass alle Wurzeln paarweise verschiedene Rang (#Kinder) besitzen:



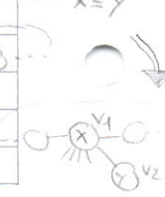
while 2 Wurzeln mit gleichem Rang existieren

seien v_1, v_2 solche Wurzeln mit $v_1.prio = v_2.prio$



mache v_2 zum Kind von v_1
- verschmelze v_1, v_2

od



- 4) Durchsuch die Liste der Wurzeln linear nach dem neuen Minimum. Das kostet $\mathcal{O}(\text{maxRang})$, da alle alten Wurzeln paarweise versch. Rang (siehe 3)

Lemma Kosten von Schritt 3

Schritt 3 kostet $\mathcal{O}(\text{maxRang} + \# \text{Verschmelzungen})$

Beweis durch Algorithmus

$A[0 \dots \text{maxRang}]$ von Knoten

1. for $i=0$ to maxRang do $A[i] \leftarrow \text{NULL}$; od;
2. Gehe alle Wurzeln nacheinander durch
3. sei $r \leftarrow$ nächste Wurzel
4. while $A[r.\text{rank}] \neq \text{NULL}$. do
5. : $r' \leftarrow A[r.\text{rank}]$;
6. : $A[v.\text{rank}] \leftarrow \text{NULL}$;
7. : $r \leftarrow \text{Verschmelzen}(r, r')$ // liefert die neue Wurzel, r o. r'
8. : od
9. : $A[v.\text{rank}] \leftarrow v$;
10. : od

Analysse

Seien $\# w_0 =$ Anzahl der Wurzeln von Schritt 3

$\# w_1 =$ _____ - n _____ nach - "

$\# V =$ Anzahl der Verschmelzungen

Dann gilt

a) Kosten von Schritt 3 : $\mathcal{O}(\text{maxRang} + \# w_0 + \# V)$

b) $\# w_1 \leq \text{maxRang}$ (da alle versch. Rang)

c) $\# V = \# w_0 - \# w_1$ (je Verschmelzung vermindert $\# w$ um 1)

$$\Rightarrow \# w_0 = \# V + \# w_1 \quad \underbrace{\# w_0 \geq c}_{\text{c}}$$

\Rightarrow Laufzeit : $\mathcal{O}(\text{maxRang} + \# V + \# w_1 + \# V)$

$$\text{b)} \rightarrow \mathcal{O}(\text{maxRang} + \# V)$$

Wir schätzen den max. Rang ab

Beobachtung: Insert + Delmin

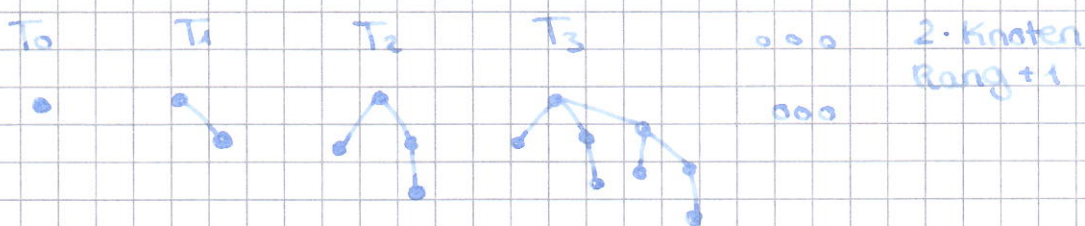
erzeugen spezielle Bäume

Binomische Bäume Folge von Bäumen T_0, T_1, \dots

T_0 • einzelner Knoten
(Insert)



von Baum zu Baum:



Lemma

Der maximale Rang eines binomischen Baumes mit n Knoten ist $\log n$ ($n = \# \text{Knoten}$)
 $\Rightarrow \max \text{Rang im Fib Heap} \leq \log n$

Beweis

1. Die Wurzel von T_i hat Rang i und T_i hat 2^i Knoten ($\# \text{Knoten verdoppelt sich}$)

2. Wurzeln hat max Rang in T_i , da alle Nachkommen (Wurzeln vom Baum T_j mit $j < i$) sind

Amortisierte Analyse der Operationen (Insert, Delmin, Findmin)

zur Erinnerung: $T_{\text{amort}}(\text{op}) = T_{\text{tats}}(\text{op}) + A_{\text{pot}}$

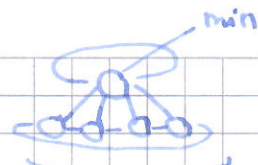
Definiere Potential = Anzahl der Wurzeln mit i)
i) immer positiv
ii) am Anfang 0

Offensichtlich: Insert, Findmin : $O(1)$

$$\begin{aligned} &\text{T}_{\text{tats}} O(1) \\ &A_{\text{pot}} = 1 \end{aligned}$$

Delmin $T_{\text{tats}} = 0$ (max Rang + # Verschmelzung)
 $\underbrace{\quad\quad\quad}_{\log n \text{ nach Lemma 2}}$

$$\text{Tamort} = \text{Totals} + \Delta \text{pot} \rightarrow$$

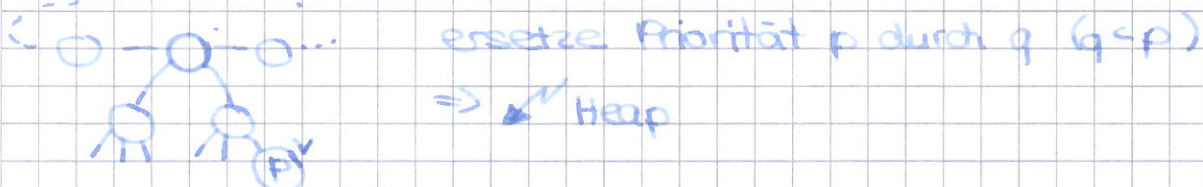


$$\Delta \text{pot} \leq \log n - \# \text{Verschmelzung} \leq \max \text{Rang} \leq \log n$$

$$\begin{aligned} \text{Tamort} &= \underbrace{\log n}_{\text{tots}} + \underbrace{\# \text{Verschmelzung}}_{\Delta \text{pot}} + \log n - \# \text{Verschr.} \\ &= O(\log n) \end{aligned}$$

-genauer: In einer beliebigen Folge von Insert, Findmin, und Delmin Operationen betragen die amortisierten Kosten für Insert $O(1)$, für Findmin $O(1)$ (worst case) und Delmin $O(\log n)$

Nun zur Operation PQ.decrease_p(v, q):



Realisierung:

- i) $v.\text{prio} \leftarrow q$
- ii) Streiche die Pointer zum Vater
- iii) Füge v in Wurzelliste ein

Problem: Entstehende Bäume sind nicht mehr binär-misch d.h. die $\log n$ -Schranke für maxRang gilt auch nicht mehr. (Beispiel → Übung)

Durch eine Modifikation kann man jedoch den maxRang immer noch durch $O(\log n)$ beschränken.

Idee: Setze das Streichen von parent-Verweisen fort, sobald ein 2-tes Kind entfernt wird.

Schritt IV

iv) Falls Vater u von v existiert: markiere(u)

\Rightarrow markiere(u)

while u ist markiert \wedge u ist nicht Wurzel do

streiche Verweis zum parent(u) \leftarrow [cut]

\rightarrow $u \leftarrow u.\text{parent}; \begin{cases} w \leftarrow u.\text{parent} \\ v.\text{parent} \leftarrow \text{NULL} \\ u \leftarrow w \end{cases}$

Füge u in Wurzelliste ein

od $u.\text{mark} \leftarrow \text{false}$

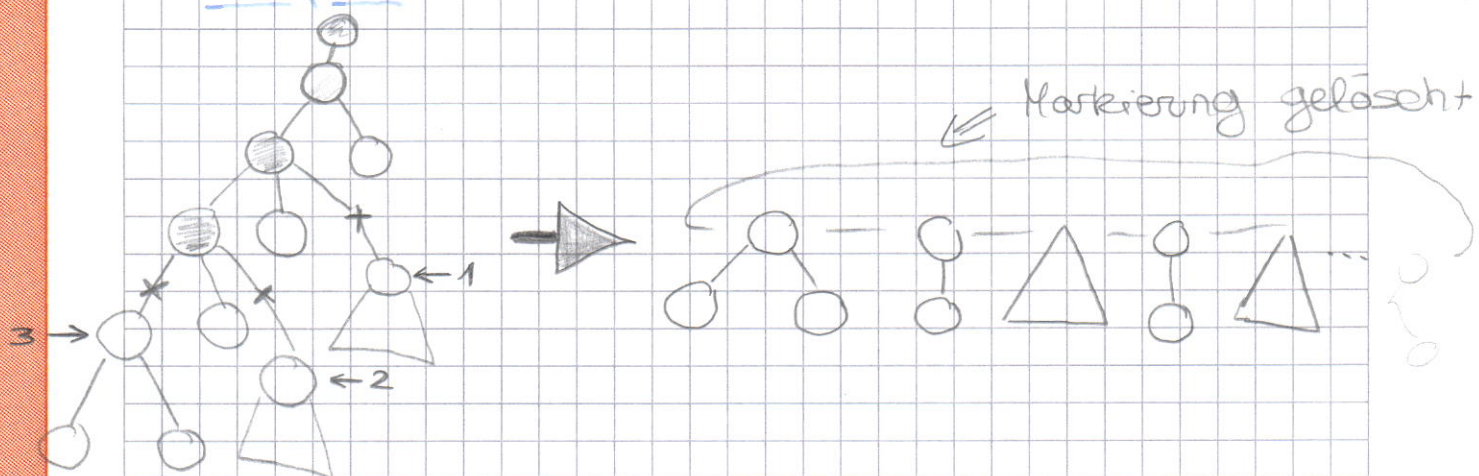
markiere u;

\Rightarrow Übung

genauer Pseudocode

zum Markieren benutze u. mark - Feld

Beispiel



Ein einzelner Decrease Operation kann sehr viele cuts auslösen d.h. teuer sein

Aber die smart. Kästen blieben $O(1)$

Wir zeigen nun, dass durch die Strategie der maxFlang durch $O(\log n)$ beschränkt bleibt.

Lemma 3 $\text{maxFlang} \leq 1,4404 \cdot \log n$

Beweisidee Teilbaum mit Wurzelrang r enthält $\Omega(2^r)$ Knoten.

Beweis: sei v bel. Knoten mit Rang i (d.h. v hat i Kinder)

v : i-Kinder Ordne die Kinder von v nach der Zeit, zu der sie zu v kommen (Verschmelzen).



Sei w_j das j -te Kind

Behauptung: $\text{Rang}(w_j) \geq j-2$

Beweis: Als w_j zum Kind von v wurde gilt: $\text{Rang}(w_j) + \text{Rang}(v) = j-1$ (gilt bei jeder Verschmelzung)

w_j hat seitdem höchstens 1 Kind verloren da es keine Wurzel ist (siehe Decrease)

$\Rightarrow \text{Rang}(w_j) \geq j-2$

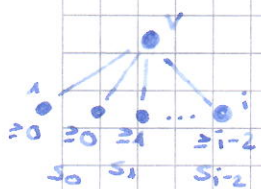
für einen bel. Knoten v mit Rang i sei

s_i = minimale Anzahl von Knoten im Unterbaum mit Wurzel v (inkl. v)

Dann gilt:

$$s_0 = 1 \quad // \text{Knoten mit Rang 1} \quad \bullet^v$$

$$s_1 = 2 \quad \bullet^v$$



$$\text{für } i \geq 2 \text{ gilt: } s_i = 2 + s_0 + \dots + s_{i-2}$$

$$\Rightarrow s_0 = 1, s_1 = 2, s_i = 2 + \sum_{j=0}^{i-2} s_j \text{ für } i \geq 2$$

Fib-Zahlen (Üb.)

$$F_0 = 0, F_1 = 1, F_i = F_{i-2} + F_{i-1} \text{ für } i \geq 2$$

$$\text{Übung: es gilt } F_{i+2} = 2 + \sum_{j=2}^{i-1} F_j$$

$$\text{Beh. } s_i \geq F_{i+2} \text{ für } i \geq 0$$

Bew. durch Induktion über i

$$i=0: s_0 = 1 = F_2 \quad \checkmark$$

$$i > 0 \quad s_i = 2 + \sum_{j=0}^{i-2} s_j$$

$$\stackrel{?}{\geq} 2 + \sum_{j=2}^{i-2} F_{j+2} = 2 + \sum_{j=2}^i F_j$$

$$\stackrel{\text{Üb.}}{=} F_{i+2} \quad \blacksquare$$

d.h. die Anzahl der Knoten in einem Unterbaum mit Wurz尔rang i ist $\geq F_{i+2}$

$$\text{Übung: } F_{i+2} \geq \left(\frac{1+\sqrt{5}}{2}\right)^i \approx 1,618^i$$

$$\Rightarrow s_i \geq 1,618^i$$

Da wir n Knoten haben gilt für maxRang r

$$\boxed{1,618^r \leq n}$$

$$\Rightarrow r \leq \frac{\log n}{\log 1,618} \leq 1,4404 \log n$$

$$\Rightarrow \text{maxRang} = O(\log n)$$

genauer: um etwa 50% erhöht

Feld im Delmin - Alg. muss nur lange von $\geq 1,4404 \cdot \log n$ haben

Amortisierte Analyse aller Operationen

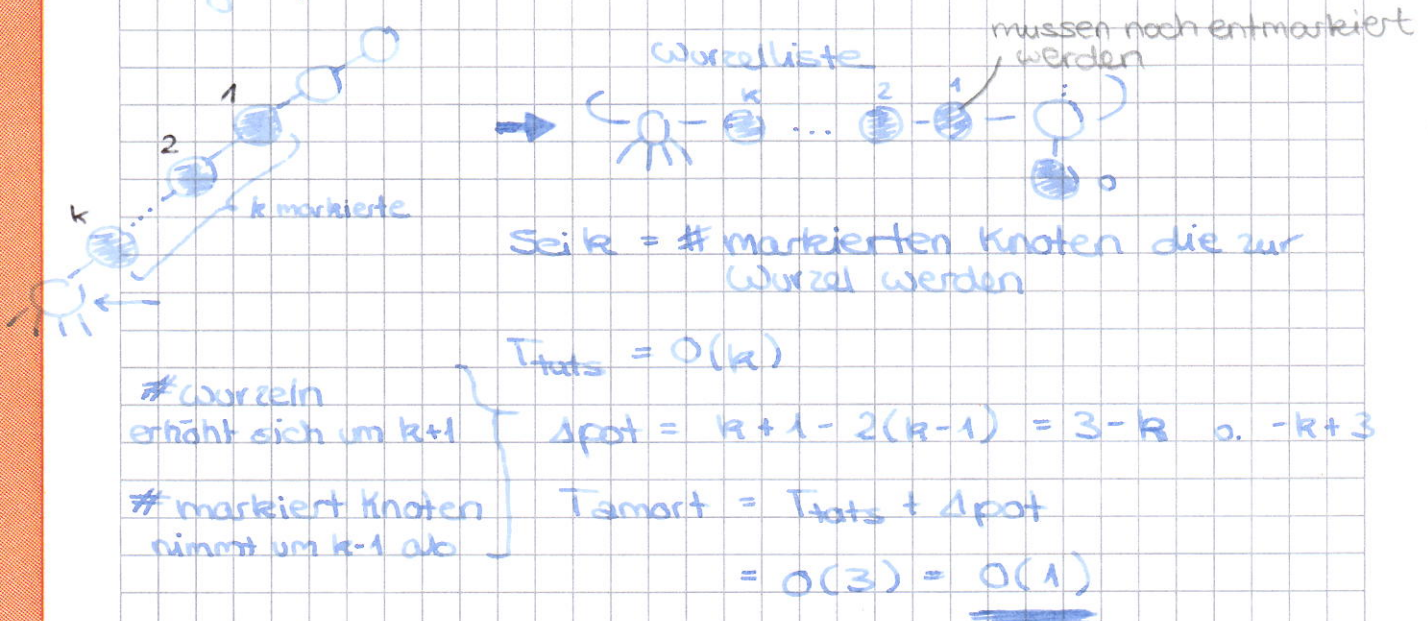
wir modifizieren das Potential (Wurzeln sind nicht markiert)

$$\text{pot} := \# \text{ Wurzeln} + 2 \cdot \# \text{ markierte Knoten}$$

Analyse von Delmin, Insert, Findmin bleibt gleich
(keine Änderung der markierten Knoten)

Decrease-p

allgemeine Situation



Zusammenfassung

Fibonacci-Heaps unterstützen die Operationen Insert, Findmin, Decrease-p in Zeit $O(1)$
(Insert, Findmin sogar im worst case)
und Delmin in Zeit $O(\log n)$ jeweils amortisiert

Auch Operation Delete(v), die Knoten v entfernt ist möglich:

$$\begin{aligned} & PQ.\text{decrease-p}(v, -\infty) + PQ.\text{delmin}() \\ & \Rightarrow O(\log n) \end{aligned}$$

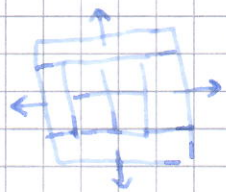
Anwendung: kürzeste Wege in Graph

Dijkstra: $n \times (\text{Insert}, \text{Delete}) + n \times \text{Decrease-p}$

Kosten der Folge \rightarrow amortisierte Analyse

Gesamtlaufzeit: $O(n \log n + m)$ $n = \# \text{ Knoten}$
 $m = \# \text{ Kanten}$

Platz: $O(n)$ aber mit relativ großen Konstanten



8 Speicherzellen pro Knoten

II. Graphalgorithmen

1. Planare Graphen

Literatur: Nishizeki / Chiba : Planare Graphen.

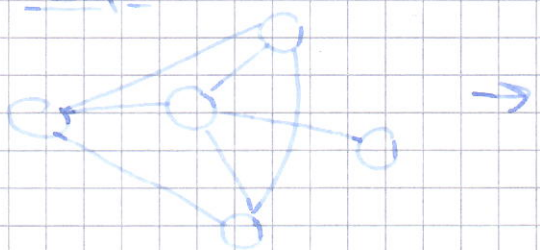
wir betrachten hier ungerichtete Graphen $G = (V, E)$

Definition

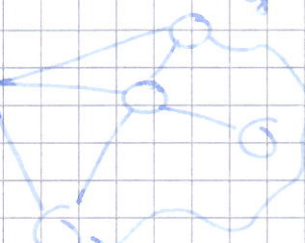
- a) Ein Graph $G = (V, E)$ ist planar, wenn G eine planare Zeichnung besitzt.
- b) Eine planare Zeichnung von G ordnet jedem Knoten v einen Punkt $\beta \in \mathbb{R}^2$ (Ebene) zu (seine Position: $\text{pos}(v)$) und jeder Kante (v, w) eine stetige Kurve mit den Endpunkten $\text{pos}(v)$ und $\text{pos}(w)$, so dass sich diese Kurve paarweise nicht schneidet, außer in ihren Endpunkten.

G planar \Leftrightarrow \exists planare Zeichnung

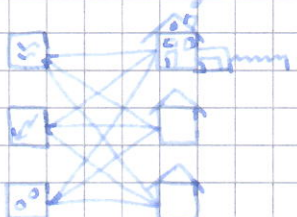
Bsp:



planare Zeichnung



nicht planar : vollständiger Bipartierter Graph
 $K(3,3)$ o. $K_{3,3}$



\Rightarrow offensichtliches Problem: Teste ob ein Graph planar ist.

Beobachtung: G planar $\Leftrightarrow G$ besitzt planare Zeichnung auf Kugeloberfläche

Planare Zeichnung zerlegt die Oberfläche in Gebiete
→ Faces

In Ebene: 1 äußeres Face

Wichtige Begriffe und Definitionen

1. Der Zusammenhang eines Graphen (genauer Knotenzusammenhang)

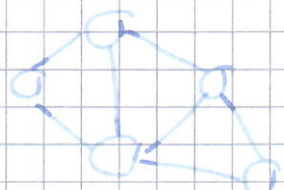
a) G heißt (einfach) zusammenhängend wenn er für jedes Paar (v, w) von Knoten einen Pfad zwischen v und w gibt

zusammenhängend



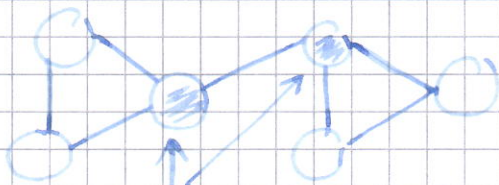
b) G heißt zweifach zusammenhängend falls $G \setminus \{v\}$ für jeden Knoten $v \in V$ zusammenhängend

Bsp:



→ egal welchen Knoten man wegnimmt, der Graph bleibt zusammenhängend

→ nicht zweifach zusammenhängend



Cut-Vertex
oder
Artikulationspunkt

1-fach zusammenhängend (Nummerierung der Knoten)

2-fach zusammenhängend

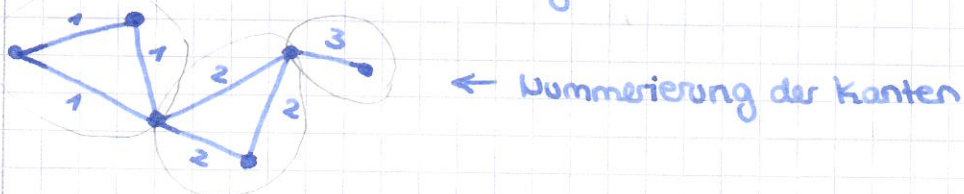
$G \setminus \{v\}$ für bel. Knoten v ist einfach zusammenhängend

CUT - Vertex: G nicht 2-fach zusammenhängend
 \exists Knoten v , dessen Entfernung G zerlegt
 \hookrightarrow Artikulationspunkt

Komponenten: maximale Teilgraphen mit entspr. Eigenschaft

\hookrightarrow Zusammenhangskomponente

\hookrightarrow 2-fach-Zusammenhangskomponente \rightarrow Blöcke



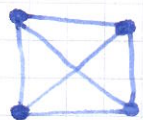
Ein 2-fach zusammenhängender Graph heißt 3-fach zusammenhängend, wenn für bel. Knoten $v, w \in V$ gilt

$G \setminus \{v, w\}$ ist zusammenhängend.

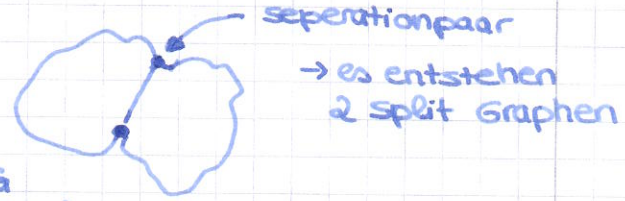
Ein nicht 3-fach zusammenhängender Graph besitzt Kantenpaare $\{v, w\}$ (mind 1), deren Entfernung ihn zerlegen. Diese heißen Separationspaar (separation pair)

Beispiele

trivial:

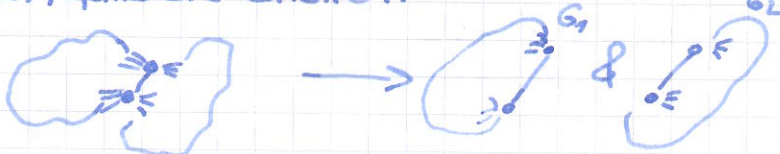


nicht 3-fach zusammenhängend



Sei G 2-fach zuständig. und (v, w) ein Separationspaar von G (d.h. G ist nicht 3-fach-zus-häng.)

Dann heißen die beiden Teilgraphen G_1 und G_2 , die durch Entfernen von (v, w) entstehen Splitgraphen, genauer G_1 und G_2 enthalten beide v und w sowie die Kante (v, w) , falls sie existiert.



k -fach zusammenhängend

man kann $k-1$ Knoten entfernen und er bleibt trotzdem zusammenhängend

Beobachtung -

Ein nicht 2-fach zusammenhängender Graph G ist planar (d.h. besitzt eine planare Zeichnung) genau dann, wenn alle Blöcke (2-fach-zus.häng Komponenten) von G planar sind.

Idee

Konstruiere planare Zeichnung für jeden Block, so dass Artikulationspunkte außen liegen und kieber die Zeichnung dort zusammen.

Folgerung -

Beim Test auf Planarität & bei der Konstruktion einer Zeichnung, kann man sich auf 2-fach zus.häng. Graphen beschränken.

Planare Einbettung -

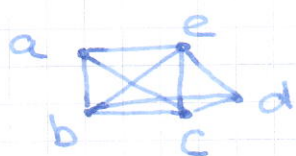
→ abstrakte planare Zeichnung (Plane Graph's)

keine Position
Faces(Fläche)

Definition Sei G ein planarer Graph

Eine planare Einbettung von G ist eine zyklische Sortierung der adjazenten Kanten für jeden Knoten v , so dass eine planare Zeichnung für G existiert, in der die Kanten in dieser Reihenfolge gegen den Uhrzeigersinn den Knoten v verlassen.

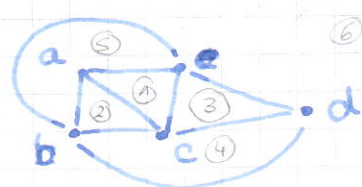
Bsp.



Einbettung -

a	→ e, b, c
b	→ a, e, d, c
c	→ e, a, b, d
d	→ c, b, e
e	→ c, d, b, a

pl. Zeichnung



6 Flächen

- ① ace
- ② abc
- ③ cde
- ④ bdc
- ⑤ aeb
- ⑥ bed

2 Darstellungen

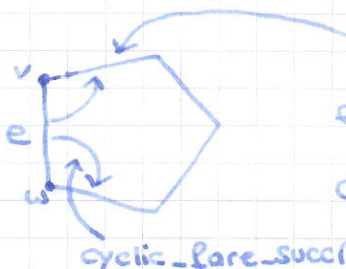
I) Ordnung der Kanten um jeden Knoten (Def)

II) Ränder der Faces

Darstellungen sind äquivalent

i) \Rightarrow ii) :

Wie komme ich zur nächsten Kante des Face-Zyklus?



$$x = \text{cyclic_succ}(e)$$

$$e = (v, w)$$

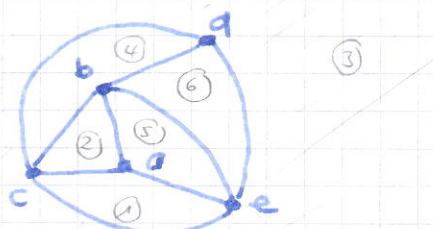
$$\text{cyclic_face_succ}(e)$$

$$= \text{cyclic_pred}(e) \text{ im Knoten } w$$

ii) \Rightarrow i): symmetrisch (\rightarrow Übung)

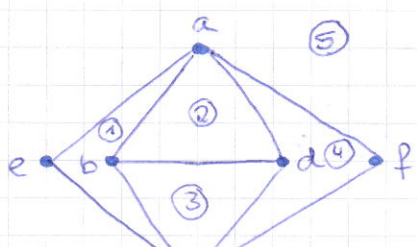
Eine planare Einbettung stellt verschiedene Zeichnungen dar, insbesondere kann jedes Face außen liegen.

Im Beispiel Fläche 3 außen



Im Allgemeinen existieren verschiedene Einbettungen (falls G nicht 3-fach zusammenhängend)

neues Beispiel



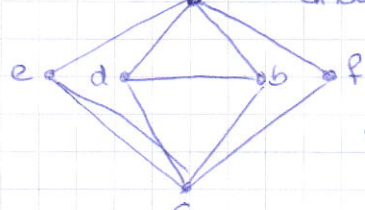
Gleicher Graph, andere Flächen

wichtig



aussere Flächen

kann jedes Face sein



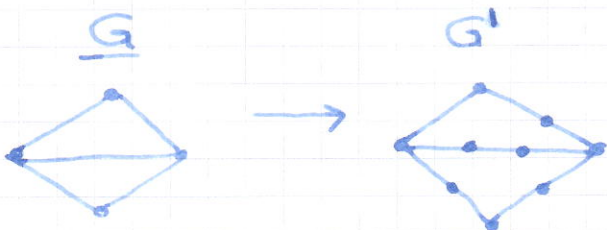
\rightarrow andere Einbettung

\leftarrow Beobachtung: G nicht 3-fach-zusammenhängend.
 $\rightarrow (a, c)$ separationspaar

Definition

Sei G ein ungerichteter Graph

G' heißt Unterteilung (subdivision) von G wenn G' aus G durch Ersetzen von Kanten durch einfache Pfade entsteht. (Plazieren von neuen Kanten auf die Kanten von G .)

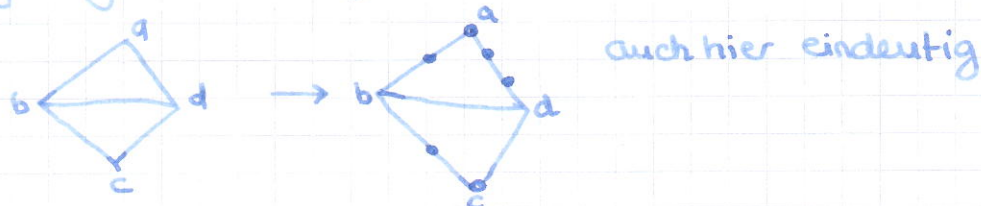


Satz 1

Die planare Einbettung eines 2-fach zusammenhängenden planaren Graphen ist eindeutig - genau dann, wenn G eine Unterteilung eines 3-fach-zusammenh. Graphen ist.

Beweis: später

Folgerung: eindeutig für 3-fach. zsh. Graphen



Die Euler-Formel

Satz 2 (Euler 1750)

Sei G eine zusammenhängende planare Einbettung (plane graph) mit n Knoten, m Kanten und f Faces. Dann gilt

$$n - m + f = 2$$

Beweis durch Induktion über $n \geq 1$

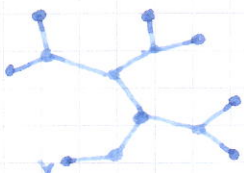
IA: $m=0 \Rightarrow n=1, f=1$

.

IV: $n-m+f=2$

IS: $m \geq 2$

Fall 1: G ist ein Baum (dh. azyklisch)



$$\Rightarrow f = 1$$

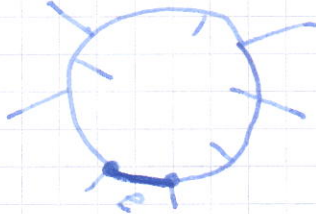
Dann besitzt G einen Knoten v mit $\text{degree}(v) = 1$ (Blatt)

Die planare Einbettung $G \setminus \{v\}$ ist zusammenhängend und hat $n-1$ Knoten & $m-1$ Kanten

$$(n-1) - (m-1) + f = 2$$

$$n - m + f = 2 \checkmark$$

Fall 2: G ist kein Baum $\rightarrow f > 1$



Sei e eine Kante auf einem Kreis

Betrachte die planare Einbettung
G \ \{e\} für die gilt

$m-1$ Kanten

n Knoten

$f-1$ Faces

$$n - (m-1) + (f-1) = 2$$

$$\Rightarrow n - m + f = 2 \blacksquare$$

Folgerung: Ein planarer Graph besitzt
planare Einbettungen für alle diese
gilt die Euler Formel

Folgerung: Sei G ein planarer Graph mit $n \geq 3$
Knoten und m Kanten, dann gilt

$$m \leq 3n - 6$$

dh. $m = O(n)$ \rightarrow planarere Graphen

Algorithmus mit $O(m+n)$ sind dünn

Def.

Beweis: Ein maximal planarer Graph ist ein
planarer Graph G, der durch Hinzufügen
einer bel. Kante $(v,w) \notin E$ nicht-planar wird

Beobachtung:

Die Faces eines planaren Einbettung eines
max. planaren Graphen sind alle Dreiecke.

Zeige für max. planare Graphen $m = 3n - 6$

Daraus folgt für allg. planare Graphen $m \leq 3n - 6$

Alle Faces sind Dreiecke (Zyklen der Länge 3)

Jedes Face besteht aus 3 Kanten und
jede Kante gehört zu 2 Faces.

$$3 \cdot f = 2m$$

$$f = \frac{2}{3}m$$

einsetzen in Eulerformel

$$n - m + \frac{2}{3}m = 2$$

$$3n - m = 6$$

$$m = 3n - 6$$

maximal planar \leftrightarrow Triangulierung

Beweis

Folgerung 2

Sei G ein planarer bipartiter Graph mit $n \geq 3$ Knoten und m Kanten. Dann gilt

$$m \leq 2n - 4$$

Beweis analog zur Folgerung 1

kleinst mögliche Fläche: 4-Eck

□

$$\Rightarrow 4f \leq 2m$$

$$f \leq \frac{1}{2}m$$

nach einsetzen in der Eulerformel \Rightarrow Beh.

Folgerung 3

Sei $G = (V, E)$ ein planarer Graph, dann besitzt G einen Knoten v mit $\deg(v) \leq 5$

Bew: indirekt

Annahme: $\forall v \in V : \deg(v) \geq 6$

$$m = \sum_{v \in V} \deg(v) / 2$$

$$\geq \frac{6 \cdot n}{2} = 3n$$

↗

Das Färbungsproblem für planare Graphen

Knotenfärbung: k Farben $\{1, \dots, k\}$

Finde Abb. $f: V \rightarrow \{1, \dots, k\}$ so dass $f(v) \neq f(w)$ für alle Kanten $(v, w) \in E$

$f(v)$: Farbe von v

Frage: Wie viele Farben (k^2) braucht man?

Trivial Vollständige Graph $K_n \Rightarrow k = n$

Für planare Graphen gilt $k = 4$ (berühmtes Problem, kompl. Beweis)

Anwendung: Färben von Ländern in Karten



↓
Faces in planarer Einbettung

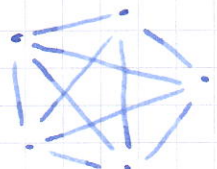
Dualer Graph

Dualer Graph: Knoten: repräsentiert die Faces

Kante $(v, w) \Leftrightarrow$ Face v und w grenzen aneinander

Flächenfärbung \rightarrow Knotenfärbung des dualen G

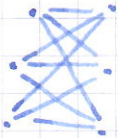
$m \leq 3n - 6 \Rightarrow K_5$ nicht planar



$$n = 5 \Rightarrow m \leq 9$$

$$m = 10$$

$m = 2n - 4 \Rightarrow K_{3,3}$ nicht planar



$$m = 9, n = 6$$

$$2n - 4 = 8$$

Satz Jeder planare Graph ist 5-färbbar

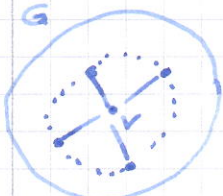
Bew (algorithmisch) \rightarrow Induktion über n

IA: für $n \leq 5$

Sei $n > 5$: I $\#$: Jeder Planare Graph mit weniger als n Knoten ist 5-färbbar

G enthält einen Knoten mit $\text{Grad} \leq 5$ (Folgerung aus Euler)

Fall 1 G besitzt Knoten v mit $\deg(v) \leq 4$



IA: \exists 5-färbung für $G' = G \setminus \{v\}$

Betrachte die r Farben der Nachbarn von v $\Rightarrow r \leq 4 \rightarrow$ mind. einer Farbe frei

Färbung für G: Färbung von G' + Farbe für v

Fall 2: alle Knoten haben mind. Grad 5

Sei $v \in V$ mit $\deg(v) = 5$

Beobachtung: v besitzt 2 Nachbarknoten x, y mit $(x, y) \notin E$

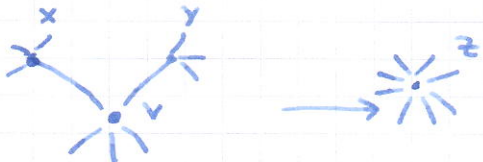
Beweis (indirekt)

Annahme : Alle Paare (x, y) aus den Nachbarknoten von v sind durch Kante $(x, y) \in E$ verbunden.

$\Rightarrow G$ enthält einen K_5 als Teilgraph

$\Rightarrow G$ nicht planar ✓

Konstruiere G' aus G durch Verschmelzung von x, y zu einem Knoten z und Entfernung von v .



G' ist planar und hat $n-2$ Knoten

IA: G' ist 5-färbbar

Betrachte die 4 Nachbarn von v in G' gib r eine freie Farbe.

Expandiere den Knoten z wieder zu x, y mit der Farbe von z . ■

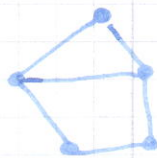
Der Satz von Kuratowski (1930)

Satz Ein Graph G ist genau dann planar, wenn er keine Unterteilung des K_5 oder $K_{3,3}$ enthält.

Unterteilung :



ist Unterteilung von



Allgemein

Definition von Graph-klassen durch verbotene Teilstrukturen.

anderes Beispiel

G ist bipartit $\Leftrightarrow G$ enthält keinen Kreis ungerader Länge

Beweis

" \Rightarrow " : offensichtlich, da K_5 und $K_{3,3}$ nicht planar. ✓

" \Leftarrow " :

Zutaten: (Übung)

Lemma 1

Jeder 3-fach zusammenhängende Graph G mit ≥ 5 Knoten besitzt eine Kante e , so dass G/e 3-fach zusammenhängend, wobei G/e ist der Graph der durch Kontraktion der Kante $e = (v, w)$ entsteht, dh. v und w werden zu einem Knoten verschmolzen und e entfernt.



Lemma 2

Sei e eine beliebige Kante in einem Graph G . Falls G/e eine Unterteilung des K_5 oder des $K_{3,3}$ enthält, dann gilt das auch für G .

Sei $G = (V, E)$ ein Graph mit $n = |V|$, der keine Unterteilung des K_5 o. $K_{3,3}$ enthält.

Induktion über n

IA : Behauptung ist wahr für $n \leq 5$

$n < 5$ alle Graphen planar

$n = 5$ nur K_5 ist nicht planar
(u. die einzige Möglichkeit eine Unterteilung des K_5 mit $n=5$, ist der K_5 selbst und dieser ist oben ausgeschlossen.)

IV : für alle Graphen mit max. n Knoten gilt die Behauptung, dh. keine Unterteilung des K_5 oder $K_{3,3}$ in G , dann G planar.

Fallunterscheidung:

1. Fall G ist nicht 3-fach zusammenhängend

Wir wissen schon: G ist planar \Leftrightarrow alle Blöcke von G (2-fach ZHK) sind planar



zyklische Struktur ↙
(sonst ja 3-fach ZHK)

oBdA: G ist 2-fach zusammenhängend
(und nicht 3-fach)

\Rightarrow G besitzt ein Split-Pair (x, y)

Entfernen von $\{x, y\}$ zerlegt G in zwei Split-Graphen G_1 und G_2

G_1 und G_2 haben beide weniger als n Knoten und enthalten keine Unterteilung des K_5 oder $K_{3,3}$

IA: $\Rightarrow G_1$ und G_2 sind planar

G_1 & G_2 sind 2-fach zusammenhängend

$\Rightarrow \exists$ planare Einbettung für G_1 und G_2 mit x & y jeweils im äußeren Face

$\Rightarrow G$ ist planar

Fall 2 G ist 3-fach zusammenhängend

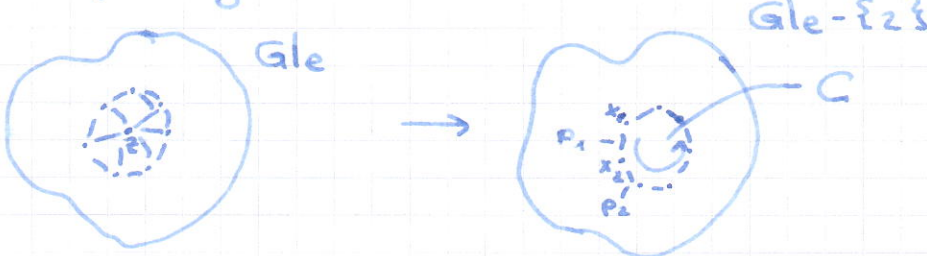
Lemma 1 $\Rightarrow \exists$ Kante e mit $G|e$ ist 3-fach zsh.

Sei e eine solche Kante ($e = (x, y)$) und z der entsprechende Knoten in $G|e$ $\xrightarrow{z} \xrightarrow{z} \xrightarrow{z}$

Lemma 2 $\Rightarrow G|e$ enthält auch keine Unterteilung des K_5 oder $K_{3,3}$ und besitzt $n-1$ Knoten

IA $\Rightarrow G|e$ ist planar

Betrachte eine planare Einbettung von $G|e$ und die planare Einbettung, die daraus durch Entfernung von z entsteht.



Sei C der Kreis / Fläche in dem z lag.

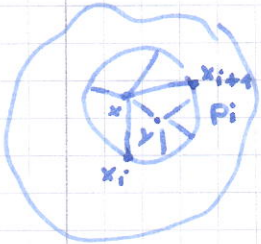
In G: Alle Nachbarn von x, y liegen auf C (außer x & y)

Seien x_1, \dots, x_k die Nachbarn von x auf C in der Reihenfolge der planaren Einbettung von $G|e$. Und p_1, \dots, p_k die entsprechenden Teilstücke auf C

genauer: P_i : Pfad von x_i zu x_{i+1} auf C (zyklisch)

Nun betrachte die Nachbarn von y auf C

Fall 1 Alle Nachbarn von y ($\neq x$) liegen auf dem selben Pfadstück P_i



Dann kann man leicht aus der Einbettung für G eine planare Einbettung für G konstruieren

$\Rightarrow G$ ist planar

Fall 2 Nicht alle Nachbarn von y ($\neq x$) liegen im selben P_i :

Fall 2.1 y hat ≥ 3 gemeinsame Nachbarn x_i, x_j, x_e mit x
(Fall 1: höchstens 2)

\Rightarrow Teilgraph mit Knoten $\{x, y, x_i, x_j, x_e\}$ ist ein K_5

$\rightarrow G$ enthält Unterteilung des K_5

Fall 2.2 y hat einen Nachbarn $u \in P_i \setminus \{x_i, x_{i+1}\}$ und einen Nachbarn $v \notin P_i$

$\rightarrow G$ enthält eine Unterteilung von $K_{3,3}$

Fall 2.3 y hat 2 Nachbarn x_i und x_j gemeinsam mit x mit $j \neq i+1$, und $i \neq j+1$ (zyklisch)
(nicht benachbart auf C)

$\Rightarrow G$ enthält eine Unterteilung von $K_{3,3}$

\Rightarrow Das sind alle möglichen Fälle!



Planaritätstest

Algorithmus basierend auf Satz von Kuratowski, d.h. sie testen, ob G eine Kuratowski-Unterteilung enthält.
 Falls ja $\Rightarrow G$ nicht planar (Ausgabe: $K_5, K_{3,3}$)
 sonst G ist planar (Ausgabe: planare Einbettung)

Im Prinzip liefert der Beweis (Induktion) einen rekursiven Algorithmus.

Effiziente Algorithmen (skizzieren)

1. DFS (Alg. von Tarjan)

Idee Verwalte für den schon besuchten Teil des Graphen eine planare Einbettung

Fallunterscheidung: Sei e die nächste besuchte Kante $e \in \{T, F, B, C\}$

Laufzeit: $O(n+m) = O(n)$

(falls $m > 3n - 6 \Rightarrow$ nicht planar)

2. Vertex - Addition Algorithmus (dempel & Codebaum)

Durchlaufe die Knoten in einer speziellen Reihenfolge v_1, \dots, v_n

Planare Einbettung $Q \leftarrow \emptyset$

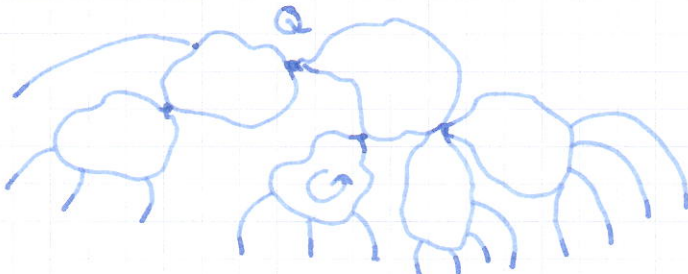
for $i=1$ to n do

// Q ist planare Einbettung für $\{v_1, \dots, v_{i-1}\}$

Konstruiere aus Q eine Einbettung für $\{v_1, \dots, v_i\}$ (füge v_i zu Q hinzu)

od

Q ist zerlegt in seine 2-fach-zusammenhangs-komp.



Laufzeit $O(n)$

Planar

Planare Graphen

1. Zeichnen von Graphen & Diagrammen (mit wenig Kreuzungen)

2. Effiziente Algorithmen

es existieren oft effiziente Alg. für planare Graphen

3. Geometrie

→ planare Unterteilung der Ebene,

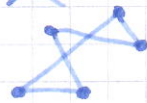
• Menge von Strecken :

• Polygone sind
planare Graphen

(auch Schnittgraph
von Polygonen)



Schnittgraph
→ planarer Graph



Algorithmische Geometrie

Probleme für geometrische Objekte

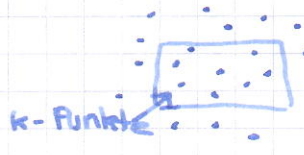
Beispiele : • Schnittprobleme

• Vereinfachung
(Approximation von komplizierten Formen)

z.B.: konvexe Hülle

• Suchen → Datenstrukturen

i) Wörterbuchproblem für Punkte $\in \mathbb{R}^d$
(d.h. d Schlüsse) $\rightarrow \log n$



ii) Bereichssuche (Range-Query)

$\rightarrow \log n + k$

iii) nächste Nachbar
(nearest neighbor)

oder Post Office Problem

Hier: Schnitt einer Menge von Strecken
(Line Segment Intersection)

Eingabe: $S = \text{Menge von } n \text{ Strecken (Segmente)}$
 $\{s_1, \dots, s_n\} \text{ im } \mathbb{R}^2$

$s_i =$ 

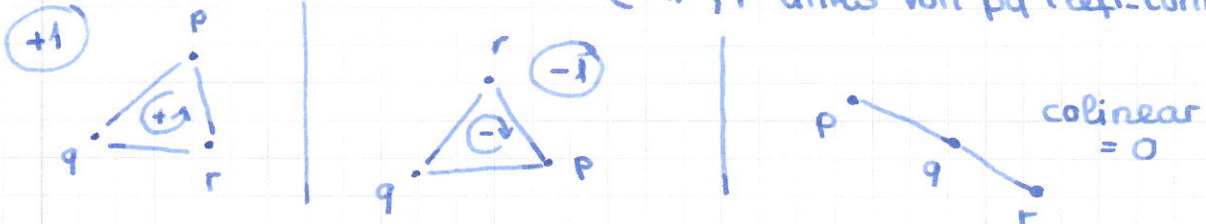
Ausgabe: Varianten

- i) true / false
→ schneiden sich mind. 2 d. nicht
- ii) Menge aller Schnittpunkte
- iii) planare Unterteilung der Ebene durch S (Graph)

Geometrische Grundoperationen (Primitive)

- i) Test, ob ein Punkt links/rechts/auf einer Geraden liegt (im \mathbb{R}^2)

• Seien $p, q, r \in \mathbb{R}^2$
 $\text{orientation}(p, q, r) = \begin{cases} -1, & r \text{ rechts von } \overrightarrow{pq} \text{ (right-turn)} \\ 0, & \text{colinear} \\ +1, & r \text{ links von } \overrightarrow{pq} \text{ (left-turn)} \end{cases}$

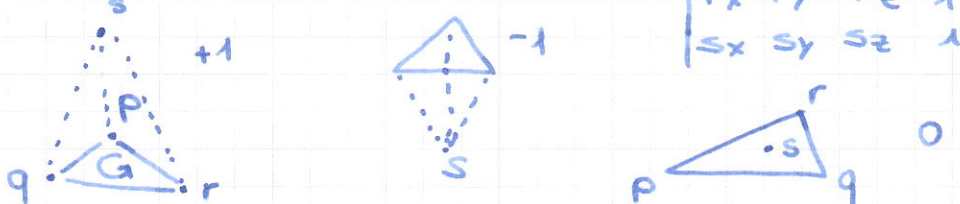


Lineare Algebra

$$\text{orientation}(p, q, r) = \text{sign} \begin{vmatrix} p_x & p_y & 1 \\ q_x & q_y & 1 \\ r_x & r_y & 1 \end{vmatrix}, \det$$

• Seien $p, q, r, s \in \mathbb{R}^3$

$$\text{orientation}(p, q, r, s) = \text{sign} \begin{vmatrix} p_x & p_y & p_z & 1 \\ q_x & q_y & q_z & 1 \\ r_x & r_y & r_z & 1 \\ s_x & s_y & s_z & 1 \end{vmatrix}$$



- ii) Test ob 3 Punkte einen Kreis bilden und ein 4. Punkt im Kreis ist

• sii) in-circle(p, q, r, s)

Kann mit orientation realisiert werden

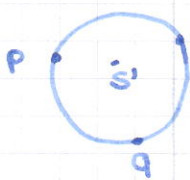
Projiziere p, q, r, s auf Paraboloiden

$$a_x = p_x, \quad a_y = p_y, \quad a_z = p_x^2 + p_y^2$$

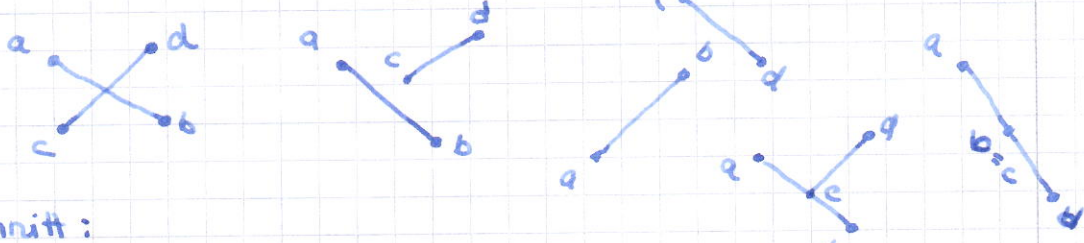
$$b_x = q_x, \dots$$

$$c_x, \dots$$

$$\Rightarrow \text{in-circle}(p, q, r, s) \Leftrightarrow \text{orientation}(a, b, c, d) \geq 0$$



iii) Test, ob sich 2 Segmente \overrightarrow{ab} , \overrightarrow{cd} schneiden



Schnitt:

$$\text{orientation}(a,b,c) \neq \text{orientation}(a,b,d) \wedge \text{orientation}(a,d,a) \neq \text{orientation}(c,d,b)$$

(Aufnahmen werden vorher abgefragt, z.B. $a == c?$, ...)

iv) Schnittpunkte berechnen

→ Geradengleichung aufstellen & berechnen → Üb

Sonderfalle: vertikale Geraden

Zusammenfassung:

Man kann in Zeit $O(1)$ testen, ob sich 2 Segmente \overrightarrow{ab} , \overrightarrow{cd} schneiden und den Schnittpunkt berechnen.

Sei nun S Menge von n Segmenten $S = \{s_1, \dots, s_n\}$

gesucht: alle Schnittpunkte zwischen Segmenten S

Naive Methode: teste alle Paare

```
forall s ∈ S do
    forall t ∈ S do
        if s ≠ t then
            p ← s ∩ t;
            print(p);
        fi
    od
od
```

} Laufzeit: $O(n^2)$
Optimal für $\Omega(n^2)$ Schnittpunkte

A hand-drawn diagram showing several lines originating from a single point and extending outwards, forming a star-like shape where many lines intersect each other.

Ziel: Laufzeit abhängig von k

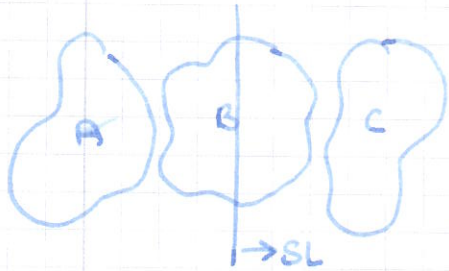
hier: $O((n+k) \cdot \log n)$ mit Plane-Sweep-Alg.

optimal: $O(n \log n + k)$

schlecht wenn $k \ll n^2$

Plane - Sweep

Idell: Bewege eine vertikale Gerade SL (Sweepline) über die Objekte

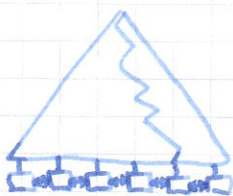


A: Berechnung abgeschlossen

B: aktive Objekte werden von SL geschnitten sind bekannt, aber Berechnung nicht abgeschlossen

C: sind noch unbekannt

1. Datenstruktur: Y-Struktur (blattorientierter balancierter Baum)



→ Objekte von unten nach oben (dh nach y-Koord. der Schnittpunkte mit SL) sortiert

→ dynamisch: beim Sweep werden neue Objekte eingefügt, andere gelöscht

Zur Erkennung der Positionen (x-Koord.) der SL, an denen sich Y ändert verwendet man sog. Events (IA Punkte). Diese Events speichert wir in einer X-Struktur X nach x-Koordinaten aufsteigend sortiert. Die Sweepline SL wird vom Algorithmus immer zur nächsten Event-Position in X bewegt (dh. keine kontinuierliche Bewegung)

2. Datenstruktur: X-Struktur (Priority Queue)

→ Events nach x-Koordinaten sortiert

→ a) statisch: alle Eventpunkte bekannt

b) dynamisch: ein Teil der Events wird während des Sweep berechnet

Segmentschnitt

$S = \text{Menge von Strecken } s_1, \dots, s_n$ in allgemeiner Lage

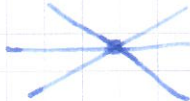
i) keine vertikalen Segmente
(dh. SL trifft zuerst linzen und später rechten Endpunkt → 2 Events)

ii) Endpunkte aller Segmente sind paarweise verschieden (dh. höchstens ein Event pro Punkt)

nicht

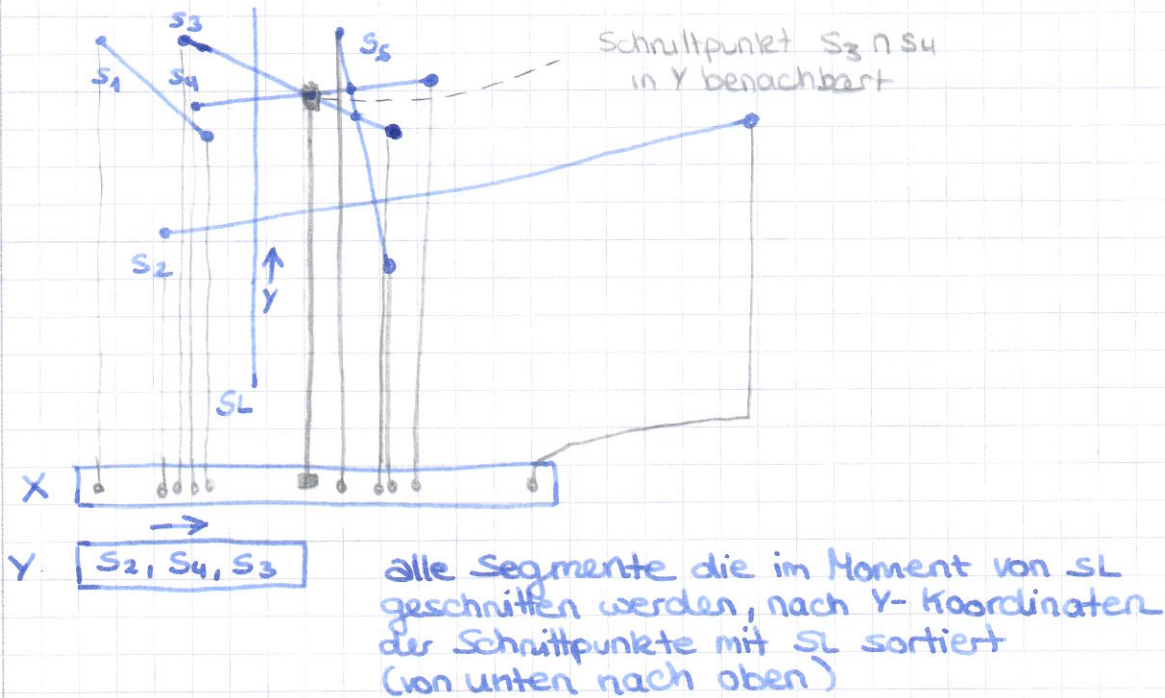


iii) Schnittpunkte auch paarweise verschieden
dh: jeder Punkt schneidet höchstens 2 Segmente
nicht:



Diese Annahmen sollen nur die Idee des Algorithmus vereinfachen. Die Fälle müssen später noch behandelt werden.

Beispiel: $S = \{S_1, S_2, S_3, S_4, S_5\}$

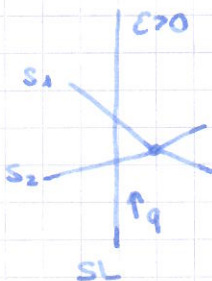


X - Struktur (Event - Queue)

Alle Endpunkte von Segmenten (statischer Teil) und Schnittpunkte von in der Y-Struktur benachbarten Segmenten rechts von SL.

Folgerung:

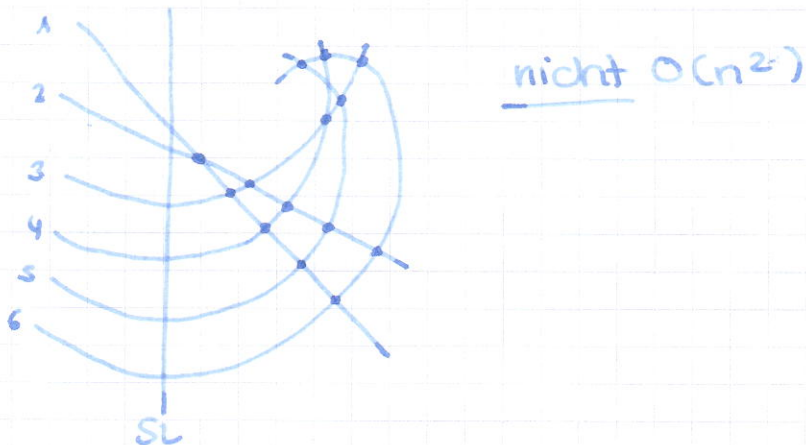
- Alle Schnittpunkte werden als Events vorkommen
dh werden in X eingefügt \Rightarrow Konsistenz



Sei $q = S_1 \cap S_2$, dann $\exists \epsilon > 0$, so dass in Y-Struktur bei SL-Position $q_x - \epsilon$ S_1 und S_2 benachbart sind

Aus Invariante, dass X alle Schnittpunkte von in Y benachbarten Segmenten enthält folgt Konsistenz.

ii) Platzbedarf für die X-Struktur ist $O(n)$ denn es gibt maximal n benachbarte Paare in Y



Der Sweep - Algorithmus für den Segmentschnitt

```
xpos ← -∞ // Position von SL  
X-Struktur X ← ∅ // PQ von x-Koord.  
Y-Struktur Y ← ∅ // sortierte Folge von Segm. (bin Baum)
```

forall s ∈ S do

```
X.insert(s.left);  
X.insert(s.right);
```

and

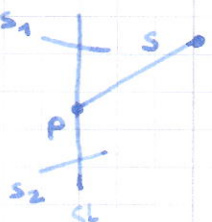
while X ≠ ∅ do // verarbeite events

```
p ← X.delmin();
```

```
xpos ← p.x // schiebe SL in Punkt p
```

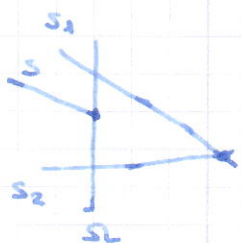
// Fallunterscheidung

case p linker Endpunkt von s



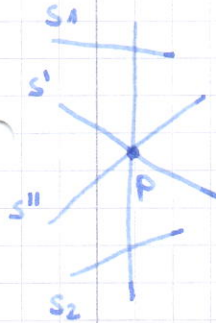
```
Y.insert(s);  
s1 ← Y.succ(s);  
s2 ← Y.pred(s);  
X.delete(s1 ∩ s2);  
X.insert(s ∩ s1);  
X.insert(s ∩ s2);  
// Achtung: s1, s2, s1 ∩ s2, s ∩ s1, s ∩ s2  
// existieren nicht immer
```

case p rechter Endpunkt von s



```
s1 ← Y.succ(s);  
s2 ← Y.pred(s);  
Y.delete(s);  
X.insert(s1 ∩ s2);  
// auch hier Achtung!
```

case p Schnittpunkt von s' und s''



```

 $s_1 \leftarrow Y.\text{succ}(s');$ 
 $s_2 \leftarrow Y.\text{pred}(s'');$ 
 $Y.\text{swap}(s', s'');$ 
 $X.\text{delete}(s' \cap s_1);$ 
 $X.\text{delete}(s'' \cap s_2);$ 
 $\leftarrow \text{vorher Testen ob Schnittpunkte}$ 
 $X.\text{insert}(s'' \cap s_1);$ 
 $X.\text{insert}(s' \cap s_2);$ 
  existieren
  
```

✓ Ausgabe:

$$p = s' \cap s''$$

oder

Analyse des Planesweep-Algorithmus

Beobachtung: Die Hauptschleife bearbeitet alle Endpunkte und jeden Schnittpunkt genau einmal.

$$\Rightarrow 2n + k \text{ Durchläufe } (k = \#\text{Schnittpunkte})$$

Im Rumpf werden je nach Fall konstant viele Operationen ausgeführt

- Schnitttest
- Operationen auf Y
(Y.insert, Y.succ, Y.delete, Y.swap)
- Operationen auf X
(X.delmin, X.insert, X.delete)

Alle Operationen auf X- & Y-Struktur kann in Zeit $O(\log n)$ realisieren
(beachte, dass beide höchstens $O(n)$ Objekte enthalten)

z.B.: durch binäre Suche

Alternative: Heap für X-Struktur (stat PQ)

Gesamtlaufzeit: $O((n+k) \cdot \log n)$

Grundoperationen (Primitive)

- Schnitte (Üb) \rightarrow orientation
- Vergleiche in Y-Struktur

zu Vergleiche in Y

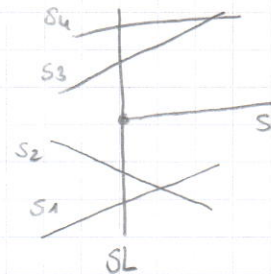
if ($s < s'$) then

sei $f(x)$ die Geradengleichung
 $y' \leftarrow f(x_{\text{pos}})$
 $y \leftarrow s.\text{left}.y$

if $y < y'$ then



Y.insert(S)



Es lohnt sich hier, alle Geradengleichungen in einem Preprocessing zu bestimmen (keine Vertikalen!)

Einige Ideen zur Verallgemeinerung

Eingabe nicht in allgemeiner dage:

i) mehrere Events an einer Position

1. Verwende lexikogr. xy-Ordnung für die Events in x-Struktur

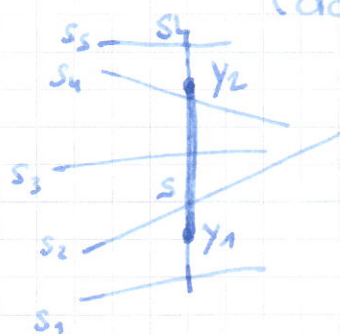
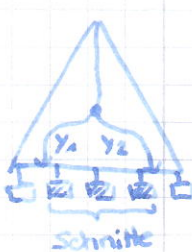
2. Bearbeitung eines Events p



keine Fallunterscheidung, sondern gleichzeitig:
• Einfügen aller startenden
• Löschen aller endenden
• Swap aller durchgehenden

ii) Vertikale Segmente

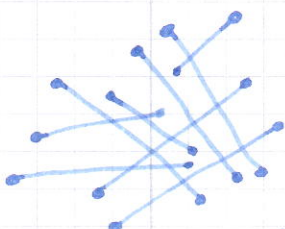
können nicht in Y eingefügt werden.
(da keine Geradengleichung für Vertikale)



Sei $S = (x_{\text{pos}}, y_1, y_2)$

S schneidet alle Segmente in Y zwischen y_1 und y_2

Erweiterung: Berechne den planaren Graphen $G = (V, E)$
bzw. seine planare Einbettung



V : Menge der End- und Schnittpunkte und zwischen jedem auf einem Segment benachbarten Paar von Knoten $(v, w) \in V$ existiert eine Kante $(v, w) \in E$

Anwendung: • Schnitt von Polygonen $P \cap Q$

$S \leftarrow$ Menge aller Segmente aus $P \cap Q$
Graph \leftarrow Sweep(S)
Finde alle Faces aus $P \cap Q$

Berechnung von $G = (V, E)$

1. Jeder Eventpunkt p erzeugt einen Knoten v

2. Speichere mit jedem Segment $s \in \gamma$

$\text{last}(s) = \text{der zuletzt erzeugte Knoten auf } s$
(linker Endknoten oder Schnittpunkt)

3. für Schnittpunkte und rechte Endpunkte von s

- erzeuge Knoten v
- erzeuge Kante $(v, \text{last}(s))$
- $\text{last}(s) \leftarrow v$

! erzeuge die Kanten im Uhrzeigersinn!

Sonderfälle (Übung)

- nur vertikale oder horizontale Segmente
(achsen-parallel)

→ einfacherer Algorithmus

- Red-Blue-Segmentschnitt

2 Mengen von Segmenten S_1, S_2 (disjunkt)

→ es interessieren nur die Schnitte
zwischen blau (S_1) und rot (S_2)

Anwendung: Polygonschnitt

Point Location

Gegeben: Planare Unterteilung des \mathbb{R}^2 d.h. durch planaren Graphen $G = (V, E)$

mit i) jeder Knoten $v \in V$ besitzt Position $\text{pos}(v) \in \mathbb{R}^2$ (einfach $v \in \mathbb{R}^2$)

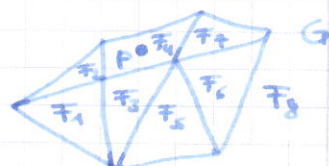
ii) jede Kante $(v, e) \in E$ ist Strecke $\overline{\text{pos}(v)\text{pos}(w)}$

Beispiele

• Schnittgraph



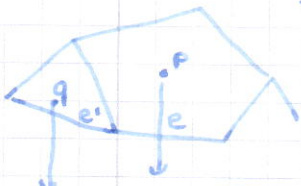
• planare Unterteilung durch geschlossene Flächen (speziell: Triangulierung)



Problem: Für viele Anfragen nach Punkt $p \in \mathbb{R}^2$

$\text{Locate}(p)$: liefert die Fläche (Face) von G , die p enthält

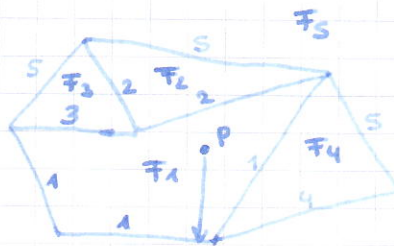
Äquivalent: vertikale Sichtbarkeit



Für $p \in \mathbb{R}^2$ finde die Kante e in G , die von einem vertikalen nach unten gerichteten Strahl als erstes getroffen wird.

Dazu beschrifte alle Kante $e \in E$ (nicht vertikal) mit Face oberhalb von e .

Beispiel



Für viele Anfragen lohnt es sich eine Datenstruktur aufzubauen (Preprocessing), die dann die einzelnen Fragen effizient beantwortet.

Bemerkung: für wenige (z.B.: $O(1)$) Anfragen ist die triviale Lösung optimal

→ Lineare Suche nach der Kante mit kleinsten vertikalen Abstand $\Rightarrow O(n)$

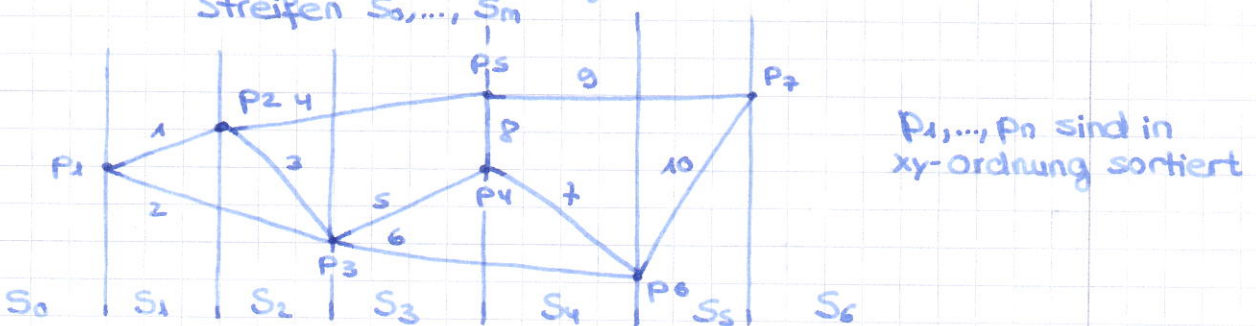
Lösungen für Point Location

(vertikale Sichtbarkeit)

1. Die Streifenmethode

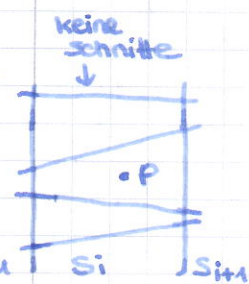
Sei $G = (V, E)$ die Unterteilung mit $V = \{p_1, \dots, p_n\}$, $p_i \in \mathbb{R}^2$ ($\Rightarrow |E| \leq 3n - 6 = O(n)$)

Idee: Ziehe durch jeden Knoten p_i eine vertikale Gerade. Dies zerlegt die Ebene in (max) $n+1$ Streifen S_0, \dots, S_m



Locate (p) mit $p = (x, y)$

1. Finde den Streifen S_i der P enthält durch binäre Suche nach x auf den x-Koordinaten der Punkte P_1, \dots, P_n
2. Dann sortiere den Punkt p (\rightarrow binäre Suche) in Liste der Kanten des Streifen S_i ein



Datenstruktur: Feld von Feldern

Primäres Feld: $A[1, \dots, n]$

$A[i]$: x Koordinaten von p_i + Verweis auf Feld $B[i]$ (realisiert Streifen S_i)

Sekundäres Feld:

$B[j]$: Folge von den Kanten in Streifen S_i von unten nach oben sortiert

Beispiel

x ₁	x ₂	x ₃	x ₄	x ₅
9				
2	2	6	6	10
1	3	5	7	9
4	4	4	8	9
			9	

Streifen - 2

Aufbau durch einfachen Sweep

`locate(p)`

$i \leftarrow A.\text{binary-search}(p_x)$

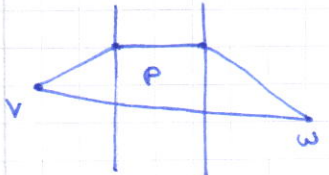
$B \leftarrow A[i].\text{Streifen} \leftarrow$ Referenz auf sekundäres Feld

$j \leftarrow B.\text{binary-search}(p)$

`return j`

Binäre Suche nach p in B; Field

als Vergleich p unterhalb von $e \Leftrightarrow \text{orientation}(v, w, p) < 0$



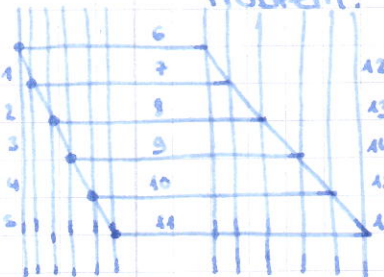
p auf

$e \Leftrightarrow \text{orientation}(v, w, p) = 0$

p überhalb von $e \Leftrightarrow \text{orientation}(v, w, p) > 0$

Aufzeit: $O(\log n)$, da 2x binäre Suche (optimal)

Problem: Speicherplatz quadratisch sein d.h. $\Omega(n^2)$
 \Rightarrow Aufbauzeit



13 wenn fast alle sekundären Felder B_i Länge $O(n)$

14 haben

15

16 $\Rightarrow n/2$ der Kanten schneiden ca die Hälfte der n Streifen. $\approx 1/4 n^2$

\Rightarrow Platz $\Omega(n^2)$

\Rightarrow Aufbauzeit $O(n^2 \log n)$

Zusammenfassung

Bei nicht degenerierter Eingabe (d.h. allgemeine dage)

Preprocessing: $O(n \log n)$

Platz : $O(n)$

Suchzeit : $O(\log n)$

$O(n^2 \log n)$
 $O(n^2)$

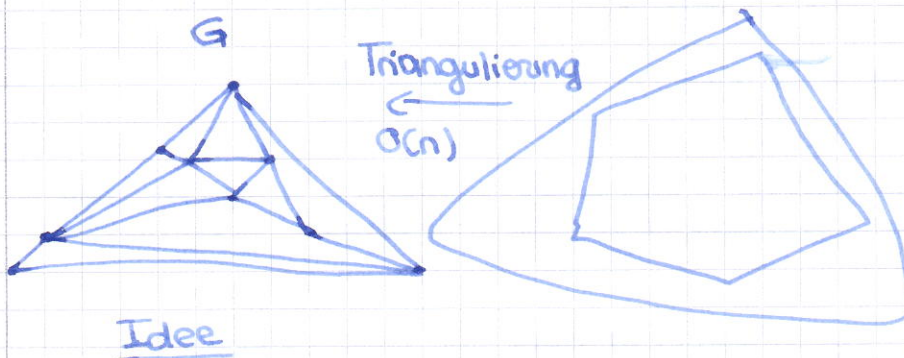
↑

degeneriert

2. Lösung : Triangulierungsverfeinerung

garantiert optimales Verhalten aber viel aufwendiger und daher praktisch erlt. langsamer

Gegeben Eine Triangulierung der Ebenen $G = (V, E)$ d.h. planare Unterteilung, die nur Dreiecke als Flächen besitzt, auch die äußere Fläche



Idee

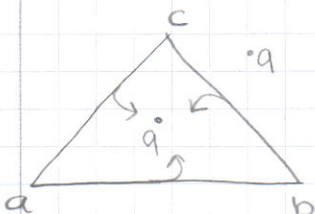
Konstruiere Folge von Triangulierung S_1, \dots, S_k so dass gilt

- i) $S_1 = G$
- ii) $S_k = \text{äußeres Dreieck von } G$
- iii) $k = O(\log n)$
- iv) S_{i+1} besteht aus einem konstanten Bruchteil der Kanten von S_i (z.B. $\frac{1}{2}$ o. $\frac{1}{16}$)
- v) für jeden Punkt q , den man in S_{i+1} lokalisiert hat (d.h. Dreieck von q bekannt) kann man in $O(1)$ Zeit das entsprechende Dreieck in S_i finden.

Locate(q)

1. Lokalisiere q in S_k

2 Fälle d.h. 2 mögliche Δ (außen t_0 , innen t_1)



$$\left. \begin{array}{l} \text{orientation}(a, b, q) \geq 0 \\ \text{orientation}(b, c, q) \geq 0 \\ \text{orientation}(c, a, q) \geq 0 \end{array} \right\} t_1, \text{contains}(q) \quad \hookrightarrow \text{Dreieck}$$

2. for $i = k-1$ to 1 do

lokalisiere q in S_i (siehe v) $\left. \right\} \text{da } k = O(\log n)$
 $t \leftarrow S_i.\text{locate}(S_{i+1}, t)$ in $O(1)$ siehe ii)

Konstruktion der Datenstrukturen d.h. Folge S_1, \dots, S_k
 $S_1 \leftarrow G$

Frage: Wie kommt man von S_i nach S_{i+1} ?

Sei $S_i = (V_i, E_i)$. Wir entfernen eine Knotenmenge $I \subset V_i$ mit folgenden Eigenschaften:

1. $|I| \geq c \cdot |V_i|$ z.B. $c = \frac{1}{10}$ konstanter Bruchteil
2. I enthält keinen der 3 äußeren Knoten a, b, c
3. I ist eine unabhängige Knotenmenge von S_i d.h. $E_i \cap (I \times I) = \emptyset$

(keine Kante innerhalb von I)

wenn man nur solche unabhängigen Kanten entfernt, dann entstehen nur sternförmige (star shaped) Flächen (Polygone)

Diese kann man einfach in Zeit $O(\deg(v))$ retreangulieren.

Beobachtung: Wenn + Dreieck in S_{i+1} mit $q \in I$, dann gibt es in S_i nur $\deg(v)$ Kandidaten.

4. Für alle Knoten $v \in I$: $\deg(v) \leq c_1$, c_1 Konstante

(zur Erinnerung in planaren Graphen existiert immer ein Knoten von Grad ≤ 5)

Beobachtung: Schritt von $S_{i+1} \rightarrow S_i$ in Zeit $O(1)$

Lemma: Jede Triangulierung S_i enthält eine unabhängige I mit $|I| \geq \lceil \frac{1}{12} \cdot (n/2 - 3) \rceil$ ($n = |V_i|$) so dass jeder Knoten $v \in I$ einen Grad von maximal 11 besitzt und $V \notin \{a, b, c\}$

Beweis durch greedy Algorithmus

1. markiere die äußeren Knoten a, b, c

2. $I \leftarrow \emptyset$

3. repeat

$v \leftarrow$ bel. nicht markierter Knoten mit Grad ≤ 11
 $I \leftarrow I \cup \{v\}$

markiere v und alle Nachbarn von v
until \exists unmarkierten Knoten mit Grad ≤ 11



I unabhängig

Grad ≤ 11

z.z.: $|I| \geq \lceil \frac{1}{12} \cdot (n/2 - 3) \rceil \in$ Euler-Formel

$S_{i+1} \rightarrow S_i$

- berechne I und entferne die Knoten
- trianguliere die sternförmigen Flächen
→ neue Dreiecke
- Speichere für jedes neue Dreieck t in S_{i+1} Pointer auf die (≤ 11) alten Dreiecke t' in S_i mit $t \cap t' \neq \emptyset$

Datenstruktur

besteht aus Knoten (DAG)

Wurzel: Dreieck von S_k

Blätter: alle Dreiecke von $S_1 (= G)$

innere Knoten: Dreiecke durch Retriangulierung

Platz: $O(n)$

Zeit: $O(\log n)$

Aufbau: $O(n)$